

บทที่ 2

เอกสารและงานวิจัยที่เกี่ยวข้อง

2.1 พอลิเมอร์ – ดินเหนียวนาโนคอมโพลิเมต (Polymer – Clay Nanocomposites)

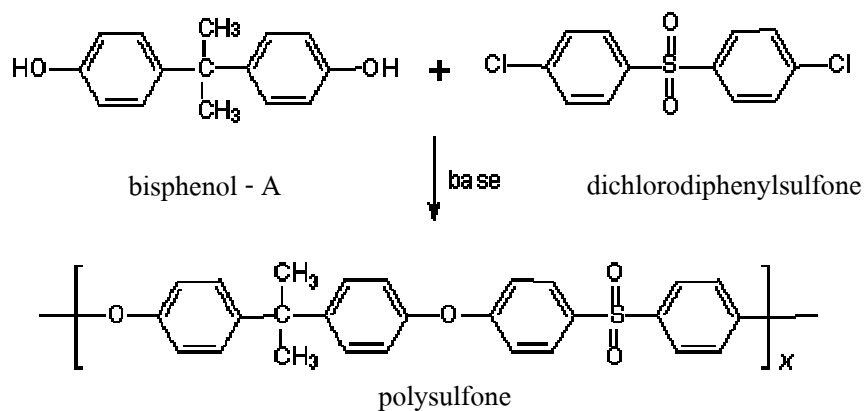
พอลิเมอร์ – ดินเหนียวนาโนคอมโพลิเมต คือ พอลิเมอร์ผสมหรือคอมปาวด์ที่มีองค์ประกอบของอนุภาคขนาดเล็กมากในระดับนาโน (ขนาด 10^{-9} m) ซึ่งมีขนาดเล็กกว่าสารตัวเติม (fillers) ทั่วไปในพอลิเมอร์หลายร้อยเท่าถึงหลายหมื่นเท่า โดยใช้ออนุภาคดินเหนียวที่มีโครงสร้างขนาดเล็กมากเป็นสารตัวเติม ตัวอย่างดินเหนียวกลุ่มต่างๆ ในธรรมชาติ (ภาคผนวก ก) เช่น เนสโซซิลิกेट (nesosilicates) โซโรซิลิกेट (sorosilicates) ไซโคโลซิลิกेट (cyclosilicates) อิโนซิลิกेट (inosilicates) ฟิลโลซิลิกेट (phyllosilicates) และเทกโทซิลิกेट (tectosilicates) เป็นต้น (<http://www.mindat.org>) แต่ดินเหนียวที่มีประสิทธิภาพและเหมาะสมสำหรับการปรับปรุงสมบัติของพอลิเมอร์ คือ ดินเหนียวกลุ่มฟิลโลซิลิกेट สามารถแบ่งชนิดของดินเหนียวในกลุ่มนี้ได้แก่ หดานาโนคลิโนไลต์ (montmorillonite, MMT) ชาไฟไลต์ (saponite) และอิลลิต (illite) เป็นต้น (Ray *et al.*, 2003; ไพบูลย์, 2546)

ดินเหนียวชนิดมอนต์莫ริลโลไลต์เป็นที่นิยมใช้กันมากที่สุดสำหรับการปรับปรุงสมบัติของพอลิเมอร์ โครงสร้างเป็นแผ่นบางเรียงตัวเป็นชั้นๆ หักห้ามห้าม ความกว้างหรือความยาวของแผ่นโครงสร้างมีขนาดประมาณ $1 \mu\text{m}$ และหนาประมาณ 1 nm ทำให้ออนุภาคดินเหนียวชนิดนี้มีค่าอัตราส่วนขนาด (aspect ratio) ซึ่งคำนวณค่าได้จากการ测量ของวัตถุที่ขยายยาวขึ้นต่อหน่วยพื้นที่มีค่าสูง การมีค่าอัตราส่วนขนาดสูงเป็นค่าที่บ่งชี้ถึงพื้นที่ผิวสัมผัสและประสิทธิภาพของการผสมเพื่อเสริมแรงให้กับพอลิเมอร์หรือเพิ่มสมบัติเชิงกลให้มากขึ้น โครงสร้างของดินเหนียวชนิดนี้สามารถขยายระยะห่างระหว่างชั้น ($d - \text{spacing}$) ได้แบบไม่จำกัดและบริเวณผิวน้ำของชั้นดินเหนียวแสดงประจุลบเกิดขึ้น ทำให้สามารถเกิดการแยกเปลี่ยนไออกอนกับแคทไออกอนของสารอื่นได้ โครงสร้างระดับนาโนของชั้นดินเหนียวจะนำไปสู่การปรับปรุงสมบัติ หรือสร้างพอลิเมอร์ชนิดใหม่ที่มีความโดดเด่นด้านกายภาพ สมบัติเชิงกล สมบัติการทนความร้อน ความคงรูป สมบัติการหน่วงไฟ สมบัติความโปร่งแสง และการสกัดกั่นก้าชต่างๆ ได้ดียิ่งขึ้น (Alexandre *et al.*, 2001; กลุ่มวิศวกรรมพลาสติกอีเมเทค, 2547)

2.2 พอลิซัลโฟน (Polysulfone, PSF)

2.2.1 โครงสร้างทางเคมี (Smith, 2547)

พอลิซัลโฟนเกิดจากการพอลิเมอไรเซชันแบบควบคุมแน่น (condensation polymerizations) ระหว่างบิสฟีโนล - เอ (bisphenol - A) และไดคลอโรไดฟีนิลซัลโฟน (dichloro di phenylsulfone) ปฏิกริยาการสังเคราะห์และโครงสร้างทางเคมีของพอลิซัลโฟนแสดงในรูปที่ 2.1



เมื่อ \times กีอ หน่วยซ้ำ มีค่าระหว่าง 50 – 80

รูปที่ 2.1 ปฏิกริยาการสังเคราะห์และโครงสร้างทางเคมีของพอลิซัลโฟน (Fried, 2003)

2.2.2 สมบัติของพอลิซัลโฟน

2.2.2.1 สมบัติทางกายภาพ

พอลิซัลโฟนในทางการค้ามีอยู่ด้วยกันหลายชนิด สามารถแบ่งชนิดได้ตามน้ำหนักโมเลกุล ตัวอย่างพอลิซัลโฟนชนิดต่างๆ เช่น Udel[®] P-1700 Udel[®] P-1800 และ Udel[®] P-3500 เป็นต้น ในงานวิจัยนี้เลือกใช้พอลิซัลโฟนชนิด Udel[®] P-1700 โดยโครงสร้างของพอลิซัลโฟนประกอบด้วยวงแหวนเป็นซีนอลายวงสี่เหลี่ยมให้โครงสร้างมีความเกะกะสูง เมื่อมีการจัดเรียงสายโมเลกุลจึงไม่สามารถพับทบให้เป็นระเบียบ ได้ โครงสร้างเป็นแบบสัมฐาน (amorphous polymer) ไม่มีความเป็นผลึกภายในโครงสร้าง เมื่อขึ้นรูปผลิตภัณฑ์ทำให้มีลักษณะใสและมีความเหนียวสูง ทนทานต่อแรงกระแทก ได้ดี มีความคงทนต่อการเปลี่ยนแปลงรูปร่างสูง และคงทนต่อสภาวะแวดล้อม สมบัติทางกายภาพของพอลิซัลโฟนแสดงในตารางที่ 2.1

ตารางที่ 2.1 สมบัติทางกายภาพของพอลิซัลโพฟนชนิด Udel[®] P-1700

สมบัติทางกายภาพ	มาตรฐาน การทดสอบ	หน่วย SI	ผลการทดสอบ
Density	ASTM D 792	g/cm ³	1.24
Water Absorption, 24 h @ 23°C	ASTM D 570	%	0.3
Melt Flow Index (343°C, 2.16 kg)	ASTM D 1238	g/10 min	5.0 - 9.0
Molecular Number Average, 10 ³	GPC		18.6
Molecular Weight Average, 10 ³	GPC		66
Polydispersity			3.5

ที่มา : Udel[®] polysulfone Design Guide

2.2.2.2 สมบัติความต้านทานสารเคมี

พอลิซัลโพฟนจัดเป็นพอลิเมอร์ที่มีความต้านทานสารเคมีสูง เสถียรในช่วง pH กว้าง ตั้งแต่ 2 - 13 ทนทานต่อสารเคมี สารละลายกรด สารละลายเกลือ สารประกอบอัลคาไล สารละลายคลอรีน น้ำมันเครื่อง น้ำมันเบนซิน แอลกอฮอล์ และไอโอดิน เป็นต้น เสถียรต่อปฏิกิริยาออกซิเดชัน และเสถียรต่อปฏิกิริยาไฮโดรคลิซีสในสารละลายกรดและเบส เนื่องจากโครงสร้างของพอลิซัลโพฟน มีพันธะออกซิเจนระหว่างวงแหวนเบนซินจึงทำให้เสถียรต่อการเกิดปฏิกิริยาไฮโดรคลิซีส ข้อด้อยของพอลิซัลโพฟน คือ ไม่ทนต่อตัวทำละลายที่มีข้าว เช่น อะโรมาติกไฮดราร์บอน และตัวทำละลายกลุ่มไคโพลาร์อะไพรติก ดังนั้นตัวทำละลายดังกล่าวหมายความว่าสามารถรับประทานการเรียบพอลิซัลโพฟน - ดินเหนียวนาโนคอมโพลิทด้วยเทคนิคสารละลาย สมบัติความต้านทานสารเคมีของพอลิซัลโพฟนแสดงในตารางที่ 2.2

ตารางที่ 2.2 ความต้านทานสารเคมีของพอลิชัลโฟนชนิด Udel[®] P-1700

ประเภทตัวทำละลาย	ตัวอย่างตัวทำละลาย	ผลการทดสอบ
Aliphatic hydrocarbons	n-butane, iso-octane	E
Aromatic hydrocarbons	benzene, toluene	A
Alcohols	ethanol, isopropanol	E
Ketones	acetone, methyl ethyl ketone	A
Esters	ethyl acetate	A
Chlorinated hydrocarbons	1.1.1 trichloroethane, chloroform	A
Non - oxidizing acids	sulfuric acid (20%), acetic acid (20%)	E
Bases	sodium hydroxide, potassium hydroxide	E

หมายเหตุ : E คือ ต้านทานสารเคมีได้

A คือ ไม่ต้านทานสารเคมี

2.2.2.3 สมบัติด้านการละลาย

พอลิชัลโฟนโดยโครงสร้างทางเคมีจัดเป็น ไอมเลกุล มีข้อ ดังนี้ ตัวทำละลายที่ใช้ในการละลายพอลิชัลโฟนต้องเป็นตัวทำละลายที่มีข้อ เช่น กัน และค่าการละลายต้องมีค่าใกล้เคียงกัน จึงจะทำให้การละลายเกิดขึ้นได้สมบูรณ์ ตัวทำละลายที่เหมาะสมกับพอลิชัลโฟน คือ ตัวทำละลายที่ มีข้อสูงกว่า ไดโพลาร์ อะโพรติก เช่น ไดเมทิลฟอร์มาไมด์ (dimethyl formamide, DMF) ไดเมทิโลอะซิตาไมด์ (dimethyl acetamide, DMAc) และเมทิลไพริโอลิดอน (n-methyl pyrrolidone, NMP) เป็นต้น ค่าความสามารถในการละลายของพอลิชัลโฟนและตัวทำละลายชนิดต่างๆแสดงในตารางที่ 2.3

ตารางที่ 2.3 ค่าความสามารถในการละลายของพอลิชัลโฟนและตัวทำละลายชนิดต่างๆ

(Hansen Solubility Parameters of Representative Liquids at 25 °C)

Solvent	Solubility parameters at 25°C, (J/cm ³) ^{1/2}			
	δ_d	δ_p	δ_h	δ_t
PSF	21.3	5.8	4.3	22.5

DMF	17.4	13.7	11.3	24.8
DMAc	16.8	11.5	10.2	22.7
NMP	18.0	12.3	7.2	23.0
Water	15.5	16.0	42.4	47.9

ตารางที่ 2.3 (ต่อ)

Solvent	Solubility parameters at 25°C, $(J/cm^3)^{1/2}$			
	δ_d	δ_p	δ_h	δ_t
Acetone	15.5	10.4	7.0	20.1
Chloroform	11.0	13.7	6.3	18.7
Ethanol	15.8	8.8	19.4	26.6
Methanol	15.1	12.3	22.3	29.7
Toluene	18.0	1.4	2.0	18.2

เมื่อ δ_d = solubility parameter of nonpolar interaction, δ_p = solubility parameter of polar interaction,

δ_h = solubility parameter of hydrogen bonding, δ_t = total solubility parameter ($\delta_t = \delta_d^2 + \delta_p^2 + \delta_h^2$)

ที่มา : www.taminco.com

2.2.2.4 สมบัติเชิงกล

โครงสร้างของพอลิชัลฟอนประกอบด้วยวงแหวนเบนซินจำนวนสี่วงแหวน ส่งผลให้ไม่เลกุลหมุนได้ยากและมีแรงคึ่งดูดระหว่างไม่เลกุลสูง แข็งแรงและไม่โค้งงอได้ง่าย ส่วนออกซิเจนอะตอนที่อยู่ระหว่างวงแหวนเบนซินที่ตำแหน่งพารา ส่งผลให้ไม่เลกุลอ่อนตัวและทนต่อแรงกระแทกได้ดี สมบัติของพอลิชัลฟอนที่พิเศษต่องานวิศวกรรมคือ ต้องใช้อุณหภูมิสูงกว่า 174°C (345°F) และความดัน 2.45 psi (1.68 MPa) ไม่เลกุลจึงจะอ่อนตัวและสามารถใช้งานได้นานที่อุณหภูมิสูงในช่วง 150°C - 174°C (300 - 345°F) พอลิชัลฟอนเป็นเทอร์โมพลาสติกวิศวกรรมที่มีค่าความทนต่อแรงดึง (tensile strength) สูงถึง 10.2 psi (\approx 70 MPa) และมีโอกาสที่จะเกิดการเปลี่ยนแปลงรูปทรงเมื่อให้แรงกระทำมากเกินตัวและมีความทนทานต่อการยืดได้ดี สมบัติเชิงกลของพอลิชัลฟอนด้านอื่นๆแสดงในตารางที่ 2.4

2.2.2.5 สมบัติทางความร้อน

วงแหวนเบนซินในโครงสร้างของพอลิชัลฟอน เชื่อมต่อพันธะกันอย่างแข็งแรง ด้วยออกซิเจนอะตอนและซัลเฟอร์อะตอน ส่งผลให้โครงสร้างมีความคงทนสูง เมื่อได้รับความร้อน

การนำพาความร้อนและการกระจายความร้อนเกิดขึ้นได้ยาก พอลิซัลโ芬จึงทนความร้อนได้ดีและมีความเสถียรทางความร้อนสูง ต้องใช้พลังงานในกระบวนการการทำลายพันธะมากขึ้น ส่งผลให้อุณหภูมิกลางตราสารซิชัน (glass transition temperature, T_g) มีค่าสูงประมาณ 180°C - 190°C อุณหภูมิการเสื่อมสภาพของโครงสร้างของพอลิซัลโ芬 (decomposition temperature, T_d) สูงกว่า 500°C สมบัติทางความร้อนของพอลิซัลโ芬แสดงในตารางที่ 2.5

ตารางที่ 2.4 สมบัติเชิงกลของพอลิซัลโ芬ชนิด Udel® P-1700

สมบัติเชิงกล	มาตรฐานการทดสอบ	หน่วย SI	ผลการทดสอบ
Tensile Strength at Yield	ASTM D 638	psi MPa	10,200 70
Tensile Strength at Break	ASTM D 638	psi MPa	8,500 59
Tensile Elongation at Yield	ASTM D 638	%	5.7
Tensile Elongation at Break	ASTM D 638	%	50 - 100
Tensile Modulus	ASTM D 638	kpsi MPa	360 2,480
Flexural Strength	ASTM D 790	psi MPa	15,400 106
Flexural Modulus	ASTM D 790	kpsi MPa	390 2,690

ที่มา : Udel® polysulfone Design Guide

ตารางที่ 2.5 สมบัติทางความร้อนของพอลิซัลโ芬ชนิด Udel® P-1700

สมบัติทางความร้อน	มาตรฐานการทดสอบ	หน่วย SI	ผลการทดสอบ
-------------------	-----------------	----------	------------

Glass Transition Temperature	ASTM D 3418	°C	180 - 190
Heat Deflection Temperature 264 psi (1.8 MPa)	ASTM D 648	°C	174
Relative Thermal Index	UL-746B	°C	160

ที่มา : Udel® polysulfone Design Guide

2.3 ดินเหนียวมอนท์莫ริลโลไนท์ (Montmorillonite, MMT)

2.3.1 องค์ประกอบทางเคมี

ดินเหนียวมอนท์莫ริลโลไนท์โดยทั่วไปประกอบด้วยส่วนผสมที่เป็นของแข็ง น้ำ และอากาศ ในส่วนที่เป็นของแข็งประกอบด้วยอินทรีย์ต่ำประมาณ 1 – 5% โดยนำหนัก ส่วนอีก 95 – 99 wt% เป็นอนินทรีย์สารซึ่งประกอบด้วยธาตุต่างๆ เป็นองค์ประกอบหลักดังต่อไปนี้

- | | |
|-------------------------|------------------------|
| - ออกซิเจนอะตอม (O) | - ซิลิกาอะตอม (Si) |
| - อะลูมิเนียมอะตอม (Al) | - เหล็ก (Fe) |
| - แคลเซียมอะตอม (Ca) | - โซเดียมอะตอม (Na) |
| - โพแทสเซียมอะตอม (K) | - แมกนีเซียมอะตอม (Mg) |

นอกจากธาตุที่เป็นองค์ประกอบทางเคมีแล้ว ลักษณะการจัดเรียงตัวของอะตอมในโครงสร้างและธรรมชาติของแร่ดึงดูดระหว่างอะตอมหรือโมเลกุลที่เรียกว่า “พันธะเคมี” เป็นตัวกำหนดที่สำคัญของสมบัติทางเคมีและทางกายภาพของดินเหนียว (ไฟนูลบี, 2546)

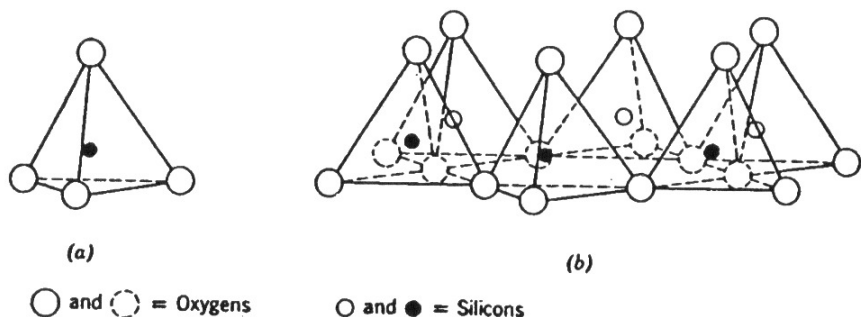
2.3.2 หน่วยโครงสร้างพื้นฐาน

โครงสร้างของดินเหนียวชนิดมอนท์莫ริลโลไนท์ ประกอบด้วยหน่วยโครงสร้างพื้นฐานที่สำคัญ 2 หน่วย ดังนี้

(ก) หน่วยของซิลิกาเตตระไฮดรอล (silica - oxygen tetrahedral (SiO_4))

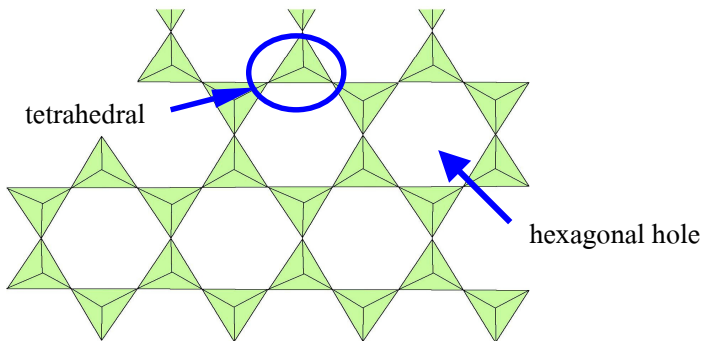
ซิลิกาเตตระไฮดรอลประกอบด้วยซิลิกาแคทไอออน (Si^{4+}) 1 อะตอม เป็นอะตอมกลางล้อมรอบด้วยออกซิเจนแอนไฮเดอเรต (O^{2-}) 4 อะตอม ในลักษณะที่สมมาตรโดย O^{2-} แต่ละไฮเดอเรตอยู่ห่างจากซิลิกอนเป็นระยะทางเท่าๆ กัน ดังรูปที่ 2.2 (a) และถ้าลากเส้นตรงระหว่างจุดศูนย์กลางของออกซิเจนแต่ละไฮเดอเรตถึงกัน จะทำให้เกิดด้านหน้าตัดสามเหลี่ยมด้านเท่าเหมือนกันทั้งสี่ด้านรอบซิลิกอนที่อยู่ใกล้กลางเกิดเป็นโครงสร้างเรียกว่า เตตระไฮดรอล (tetrahedral) ดังรูปที่ 2.2 (b)

แรงดึงดูดระหว่างพันธะ Si - O ที่เกิดขึ้นในซิลิกาเตตระไฮเดรอลจะมีความแข็งแรงมาก ดังนั้นมือการเชื่อมโยงระหว่างกันพันธะทางเคมีที่เกิดขึ้นจะมีความแข็งแรงสูง ตามลักษณะโครงสร้างของพันธะพบว่า ออกซิเจนอะตอมภายในโครงสร้างยังคงเหลือประจุ -1 ตอกถ้างอยู่ (Si - O เป็นพันธะเดี่ยว, ออกซิเจนอะตอมมีเลขโคลอร์ดิเนชั่นเท่ากับ 2) ดังนั้นถ้าประจุดังกล่าวไม่ได้เกิดพันธะกับแคทไอออนอื่นใด ประจุลบนั้นสามารถดึงดูดยึดกับ Si^{4+} ซึ่งเป็นหน่วยโครงสร้างของซิลิกาเตตระไฮเดรอลที่อยู่ใกล้เคียงกันได้ ทำให้การเชื่อมโยงระหว่าง เตตระไฮเดรอลสองหน่วยเข้าหากันด้วยพันธะ Si - O - Si โดยใช้ออกซิเจนร่วมกันกิดเป็นโครงสร้างแผ่นเอกซ์ไกโนอล (hexagonal pattern) และภายในแผ่นเอกซ์ไกโนอลมีช่องว่างที่เกิดจากการเชื่อมต่อ กันของพันธะ (hexagonal hole) กิดขึ้นดังรูปที่ 2.3 การเชื่อมต่อพันธะทางเคมีทำให้คินเนียมี ความแข็งแรงเพิ่มสูงขึ้น การสถาปัตยตัวของโครงสร้างจึงเกิดขึ้นได้ยาก และในแต่ละหน่วยของซิลิกาเตตระไฮเดรอลอาจมีการใช้ออกซิเจนในการเกิดพันธะเพียง 1, 2, 3 หรือทั้ง 4 แอนไออกอนร่วมกับ หน่วยข้างเคียงได้ แต่ถ้าแอนไออกอนของออกซิเจนได้ไม่ได้เกิดพันธะกับหน่วยข้างเคียง แอนไออกอนนั้นจะแสดงประจุ -1 เพราะออกซิเจนอะตอมมีเลขโคลอร์ดิเนชั่นเท่ากับ 2 แต่มีการเกิด พันธะเพียงพันธะเดียวกับอะตอมกลาง ยังคงเหลืออิเล็กตรอนที่ไม่ได้เกิดพันธะกับหน่วยข้างเคียง ทำให้บริเวณผิวน้ำหน้าของชั้นซิลิกาเตตระไฮเดรอลแสดงประจุลบ

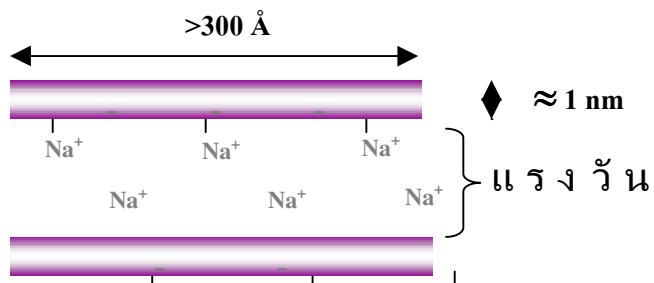


รูปที่ 2.2 (a) โครงสร้างของซิลิกาเตตระไฮเดรอลหนึ่งหน่วย (b) การเกิดพันธะระหว่างโครงสร้าง ของแผ่นเตตระไฮเดรอล (Grim, 1968)

พันธะเชื่อมต่อที่เกิดขึ้นจะทำให้ชั้นของคินเนียเป็นแผ่นยาวต่อเนื่องกัน โดยมี ความยาวตั้งแต่ 300 \AA จนถึงหลาย μm และชั้นของคินเนียเกิดการซ้อนทับกันหลายชั้น โดย เชื่อมยึดระหว่างชั้นด้วยแรงวันเดอร์วอล์วอนๆ (Alexandre *et al.*, 2000) ดังรูปที่ 2.4



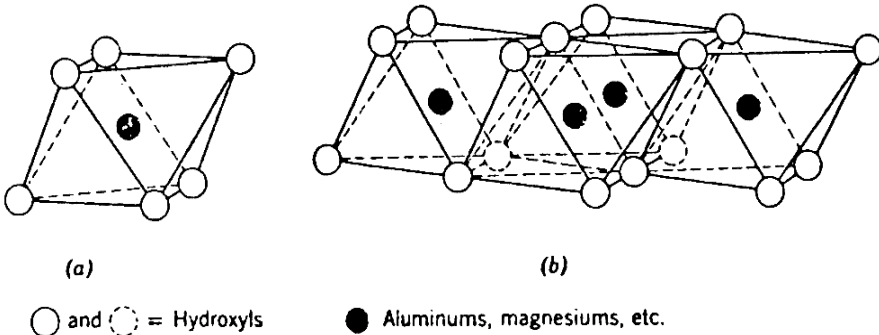
รูปที่ 2.3 โครงสร้างแพ่นเซกชั่นโภนอลและช่องว่าง (Sivakugan, 2001)



รูปที่ 2.4 ลักษณะโครงสร้างของชั้นดินเหนียว (Sivakugan, 2001)

(๗) หน่วยของอะลูมิเนียมออกตะหีดรอยด์ ($\text{aluminium octahedral } (\text{Al}(\text{OH})_6)^3-$)

อะลูมิเนียมออกตะหีดรอยด์ประกอบด้วยอะลูมิเนียม 1 อะตอม และออกซิเจน 6 อะตอม อะลูมิเนียมออกตะหีดรอยด์หนึ่งหน่วยจะมีอิเล็กตรอนที่เหลือของออกซิเจน ทำให้สามารถเกิดการเชื่อมโยงกับอิเล็กตรอนของออกซิเจนในอะลูมิเนียมออกตะหีดรอยด์ข้างเคียงได้ เกิดการเชื่อมต่อพันธะกันเป็นแผ่นยาวต่อเนื่อง เรียกว่าโครงสร้างแบบนี้ว่า แผ่นออกตะหีดรอยด์ (octahedral) โครงสร้างของแพ่นอะลูมิเนียมออกตะหีดรอยด์ ประกอบด้วยออกซิเจนและไฮดรอกซิลайโอดอน (hydroxyl anion (OH^-)) มีอะตอมกลางคือ Al^{3+} , Mg^{2+} , Fe^{3+} หรือ Fe^{2+} อยู่ภายในโครงสร้าง แต่ละแพ่นออกตะหีดรอยด์เชื่อมติดกันด้วยอิเล็กตรอนของออกซิเจนที่ไม่ได้เกิดพันธะ ดังรูปที่ 2.5 การจัดเรียงโครงสร้างแบบแพ่นออกตะหีดรอยด์อาจเรียกอีกชื่อได้ว่า แพ่นกิบบสไซท์ (gibbsite sheet)

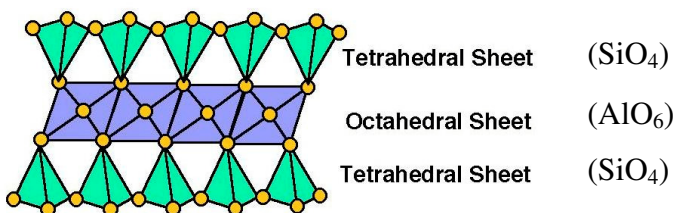


รูปที่ 2.5 (a) หน่วยของอะลูมิเนียมออกตะขิดรอดหนึ่งหน่วย (b) การเกิดพันธะระหว่างแผ่นออกตะขิดรอด (www.ethomas.web.wesleyan.edu)

2.3.3 ชนิดและรูปแบบการจัดเรียงโครงสร้าง

ดินเหนียวกลุ่มฟิลโลซิลิกेट โดยปกติสามารถจำแนกได้ 2 กลุ่มหลัก แม่ผ้าตามจำนวนชั้นของโครงสร้างการจัดเรียงตัวระหว่างแผ่นซิลิกาเตตระอะลูมิเนียมออกตะขิดรอด คือ การจัดเรียงโครงสร้าง แบบ 1 : 1 และแบบ 2 : 1

ดินเหนียวมอนท์莫ริลโลในที่จัดอยู่ในการจัดเรียงโครงสร้างแบบ 2 : 1 แต่ละชั้นของดินเหนียวประกอบด้วยแผ่นซิลิกาเตตระอะลูมิเนียมออกตะขิดรอดจำนวนสองแผ่นมีสูตรคือ $(\text{Si}_8\text{O}_{20})^{8-}$ ต่อหน่วยเซลล์ ประกอบเชื่อมยึดติดกับอะลูมิเนียมออกตะขิดรอดจำนวนหนึ่งแผ่น ซึ่งอยู่ระหว่างกลางแผ่นซิลิกาเตตระอะลูมิเนียมสองแผ่น ในการเชื่อมยึดพันธะระหว่างกันพบว่า แต่ละหน่วยของแผ่นเตตระอะลูมิเนียมจะใช้ออพิคอลออกซิเจน (apical O) ไปแทนที่ไฮดรอกซีแอนไฮเดอโรน (OH^-) ของแผ่นออกตะขิดรอดส่วนใหญ่ให้โครงสร้างที่เกิดขึ้นยึดติดกันอย่างแข็งแรง และบริเวณพิวน้ำหน้าของชั้นซิลิกาเตตระอะลูมิเนียมแสดงประจุลบเกิดขึ้น เนื่องจากอิเล็กตรอนของออกซิเจนอะตอมในแผ่นเตตระอะลูมิเนียมที่ไม่ได้เกิดพันธะกับอะตอมไกล์เดียร์ ลักษณะการจัดเรียงโครงสร้างแบบ 2 : 1 แสดงในรูปที่ 2.6



รูปที่ 2.6 การจัดเรียงโครงสร้างแบบ 2 : 1 ของมอนท์莫ริลโลในที่ (Sivakugan, 2001)

การจัดเรียงโครงสร้างแบบ 2 : 1 ของดินเหนียวมอนท์莫ริลโลในที่ มีสมบัติพิเศษ อีกค้านหนึ่งคือ โครงสร้างเป็นแบบขยายตัวได้อย่างอิสระ (freely expanding type) โดยผลกระทบของประจุลบทั้งในแผ่นเตตระไฮดรอล และแผ่นออกตะหีดรอลีมีปริมาณต่ำสุดในบรรดาดินเหนียวประเภท 2 : 1 ด้วยกัน คือ อยู่ในช่วงประมาณ 0.5 - 1.2 ต่อเซลล์หน่วย ทำให้แรงดึงดูดระหว่างประจุลบดังกล่าวกับแคทไออกอนภายในระหว่างชั้นเป็นแรงที่อ่อนมาก จากแรงดึงดูดที่อ่อนมากในโครงสร้างดังกล่าวนี้ ทำให้ชั้นของดินเหนียวมอนท์莫ริลโลในที่สามารถยืดหยุ่นได้ อย่างอิสระเต็มที่ และระยะห่างระหว่างชั้น (d - spacing) มีได้หลายค่า ขึ้นอยู่กับชนิดของแคทไออกอน และหมุนเวียนที่แคทไออกอน (Pinnavaia and Beall, 2001)

2.3.4 ค่าการแลกเปลี่ยนแคทไออกอน

โครงสร้างของชั้นดินเหนียวชนิดมอนท์莫ริลโลในที่บริเวณผิวน้ำของชั้นซิลิกา เทตระไฮดรอลแสดงประจุลบ เกิดจากอิเล็กตรอนที่เหลือของออกซิเจนอะตอมที่ไม่ได้เกิดพันธะกับอะตอมไกල์เคียง ทำให้แอนไออกอนบริเวณผิวน้ำของชั้นดินเหนียวสามารถเกิดการแลกเปลี่ยนประจุกับแคทไออกอนอื่นๆ ได้ ลักษณะของประจุลบบริเวณผิวน้ำของชั้นดินเหนียวแสดงในรูปที่ 2.7 โดยแคทไออกอนที่เกิดการแลกเปลี่ยนประจุต้องมีประจุที่เหมาะสมกับแอนไออกอนบริเวณผิวน้ำของชั้นดินเหนียว ความสามารถของการแลกเปลี่ยนประจุระหว่างแอนไออกอนกับแคทไออกอน สามารถรายงานได้ในรูปของความจุของการแลกเปลี่ยนไออกอน (cation exchange capacity, CEC) ในระบบ SI มักใช้หน่วยเป็น $\text{cmol} \cdot \text{kg}^{-1}$ ($c = \text{centi} = 10^{-2}$) ซึ่งเท่ากับ meq ต่อดินเหนียว 100 g ค่า CEC ของมอนท์莫ริลโลในที่ผันแปรได้มากหรือน้อยขึ้นอยู่กับองค์ประกอบของโครงสร้าง และปัจจัยที่มีอิทธิพลต่อประจุภายในโครงสร้าง เช่น ความเป็นกรด - ベース ค่า pH ที่เหมาะสม ความสามารถในการดูดซับไออกอน ขนาดและประจุของแคทไออกอน และความสามารถในการแลกเปลี่ยน แคทไออกอน เป็นต้น ค่าความสามารถในการแลกเปลี่ยนไออกอนของดินเหนียวในกลุ่มฟิลโลซิลิกेट แสดงในตารางที่ 2.6 พบว่า ดินเหนียวมอนท์莫ริลโลในที่มีความสามารถในการแลกเปลี่ยนไออกอน สูงสุด ประมาณ 70 – 120 meq ต่อดินเหนียว 100 g และมีพื้นที่ผิวสัมผัสสูงประมาณ 700 - 750 m^2/g ซึ่งความสามารถในการแลกเปลี่ยนไออกอนสูงแสดงว่าสามารถเกิดการแลกเปลี่ยนไออกอนกับแคทไออกอนอื่นๆ ได้ดี และการมีพื้นที่ผิวสัมผัสสูงจะช่วยทำให้ชั้นของดินเหนียวสามารถสัมผัสน้ำอื่นๆ ได้มากขึ้น (Grim, 1968; <http://www.tulane.edu>)

หน่วยในระบบ SI ของความสามารถในการแลกเปลี่ยนไอออนมี 2 แบบ คือ $\text{cmol} \cdot \text{kg}^{-1}$ และ $\text{meq}/100 \text{ g}$ สามารถแปลงหน่วย $\text{cmol} \cdot \text{kg}^{-1}$ เป็นหน่วย $\text{meq}/100 \text{ g}$ ได้ดังนี้

$$\text{cmol} \cdot \text{kg}^{-1} = \text{meq}/100 \text{ g}$$

$$10^{-2} \text{ mol}/1000 \text{ g} = \text{meq}/100 \text{ g}$$

$$10^{-5} \text{ mol/g} = \text{meq}/100 \text{ g}$$

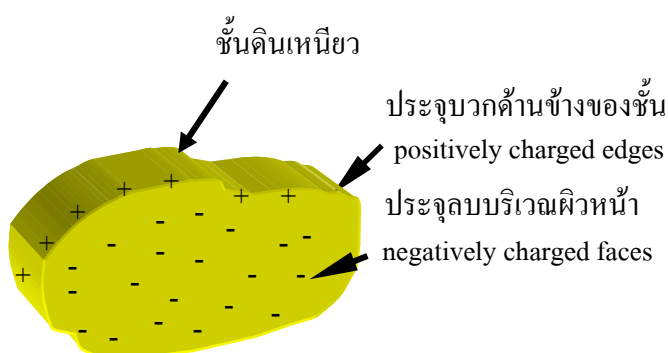
ดังนั้น meq มีค่าเท่ากับ 10^{-3} mol/g หรือเท่ากับ mmol/g

เมื่อ $c = \text{centi} (10^{-2})$ และ $m = \text{milli} (10^{-3})$

ตารางที่ 2.6 พื้นที่ผิวจำเพาะและความสามารถในการแลกเปลี่ยนไอออนของดินเหนียวชนิดต่างๆ

ชนิดดินเหนียว	พื้นที่ผิวจำเพาะ (m^2/g)	CEC ($\text{meq}/100 \text{ g MMT}$)
Kaolinite	10 - 20	3 - 10
Illite	80 - 100	20 - 30
Montmorillonite	800	70 - 120
Chlorite	80	20 - 30

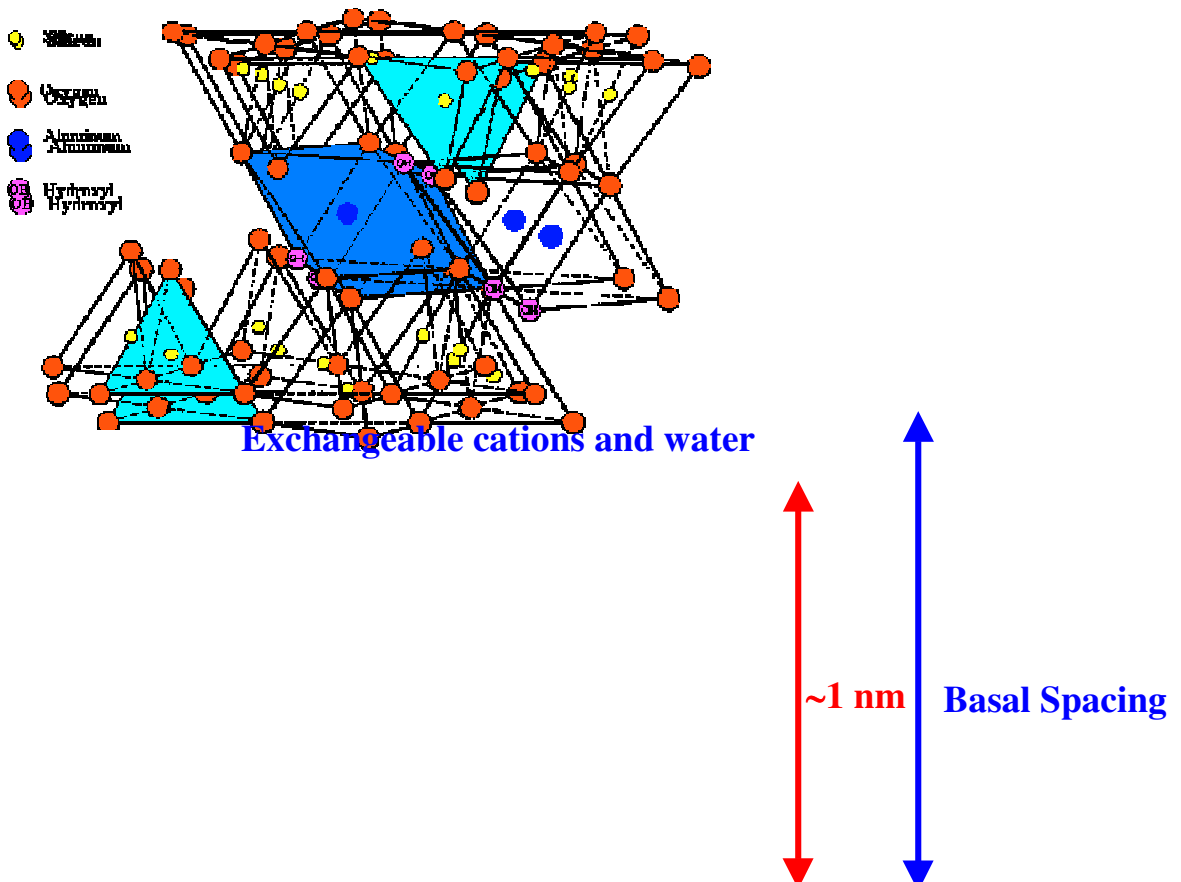
ที่มา : <http://www.state.as.us/agc/clay.html>



รูปที่ 2.7 พื้นผิวและประจำลูบบริเวณผิวน้ำของชั้นดินเหนียว (Sivakugan, 2001)

2.3.5 สมบัติทางกายภาพ

มอนท์莫ริโลไนท์โดยโครงสร้างมีขนาดอนุภาคเล็กมากในระดับนาโนเมตร และมีพื้นที่ผิวสัมผัสทั้งภายในและภายนอกระหว่างชั้นสูงประมาณ $800 \text{ m}^2/\text{g}$ พื้นที่ผิวสัมผัสบริเวณผิวหน้าของชั้นดินเหนียวแสดงประจุลบ ทำให้สามารถเกิดปฏิกิริยา กับแคทไอออนของสารอื่นๆ ได้ สูตรโครงสร้างทางเคมีของมอนท์莫ริโลไนท์อย่างง่ายมีดังนี้ $M_x(\text{Al}_{4-x}\text{Mg}_x)\text{Si}_8\text{O}_{20}(\text{OH})_4$ เมื่อ x คือ ระดับชั้นของการแทนที่ (degree of isomorphous substitution) (มีค่าระหว่าง 0.5 - 1.3) และ M คือ แคทไอออนของอะtomกลาง (Alexandre *et al.*, 2000) น้ำหนักโมเลกุลเฉลี่ยมีค่าเท่ากับ 540.46 g/mol ความหนาแน่นเฉลี่ยเท่ากับ 2.35 g/cm^3 (www.READE.com) โครงสร้างอนุภาคมีความหนาประมาณ 1 nm มีความยาวประมาณ 1 μm ทำให้ออนุภาคมีค่าอัตราส่วนขนาด (aspect ratio) สูงมาก มีค่าประมาณ 1,000 ลักษณะโครงสร้างทางเคมีเป็นผลึกซ้อนทับกันหลายชั้นระหว่างชั้นยึดติดกันด้วยแรงวนเดอร์วาร์ล์ ลักษณะทางกายภาพเป็นผงดินเหนียวสีขาว โครงสร้างการจัดเรียงตัวแบบ 2 : 1 ของมอนท์莫ริโลไนท์แสดงในรูปที่ 2.8



รูปที่ 2.8 ลักษณะโครงสร้างการจัดเรียงตัวแบบ 2 : 1 ของมอนท์莫ริโลไนท์ (Ray *et al.*, 2003)

ดินเหนียวมอนท์莫ริล โลไลน์ท์กำลังได้รับความสนใจมากขึ้นในปัจจุบัน เพราะเหมาะสมต่อการสังเคราะห์พอลิเมอร์ – ดินเหนียวนาโนคอมโพสิตเพื่อปรับปรุงสมบัติของพอลิเมอร์ให้ดีขึ้น จึงมีการนำหน่วยในการคำนวณที่มีชื่อทางการค้าคือ “เบนโทไนท์ (bentonite)” ตั้งชื่อตามบุคลที่ค้นพบดินเหนียวชนิดนี้คือ “ฟอร์ท เบนตัน (Fort Benton)” เขาศึกษาดินเหนียวชนิดนี้ซึ่งเป็นดินเหนียวที่อยู่ในยุคคริเทเชิลเป็นพินยุคไดโนเสาร์ (cretaceous rocks) ภายในเมืองไวโอมิง (wyoming) ผลสรุปมิใช่แกนทางภาคตะวันตกเฉียงเหนือของประเทศอเมริกา จากการค้นพบทำให้มอนท์莫ริล โลไลน์ท์มีชื่อได้หลายชื่อ ทั้งชื่อทางการค้าและชื่อที่แบ่งจากโครงสร้างทางเคมี ตัวอย่างชื่อทางเคมี เช่น montmorillonite, smectite, nanoclay, sodium montmorillonite, calcium montmorillonite เป็นต้น ส่วนชื่อทางการค้า เช่น sodium bentonite (Wyoming bentonite (US), swelling bentonite (Western bentonite (US)), sodium-activated bentonite (Bentonite (UK)) เป็นต้น (<http://www.READE.com>, 2005)

2.4 ดินเหนียวปรับสภาพ (Organoclay)

การเพิ่มความเข้ากันได้ระหว่างพอลิเมอร์ และอนุภาคดินเหนียวชนิดมอนท์莫ริล โลไลน์ท์เป็นปัจจัยที่สำคัญ เนื่องจากสมบัติทางเคมีของมอนท์莫ริล โลไลน์ท์มีความเป็นข้าว จึงไม่สามารถผสมเข้ากับพอลิเมอร์ทั่วไปได้ซึ่งมีความเป็นข้าวน้อยมากหรือไม่มีเลย ทำให้อนุภาคของมอนท์莫ริล โลไลน์ท์รวมตัวเกาะกันเป็นกลุ่มก้อนไม่สามารถกระจายในพอลิเมอร์ได้ นอกจากนี้โครงสร้างทางเคมีของมอนท์莫ริล โลไลน์ท์ยังมีลักษณะเป็นแผ่นๆวางซ้อนกันเป็นชั้นๆ โดยมีระยะห่างระหว่างชั้นที่สำมานំเสมอและมีค่าน้อยมาก ($\approx 1.1 - 1.5 \text{ nm}$) ระหว่างชั้นยึดติดกันด้วยแรงวันเดอร์วอล์ต์อ่อนๆ ทำให้ไม่สามารถแยกของพอลิเมอร์ไม่สามารถแทรกเข้าไปภายในระหว่างชั้นได้ จึงต้องมีการปรับสภาพดินเหนียวเพื่อให้มีค่าระยะห่างระหว่างชั้นกว้างขึ้น โดยการเติมโมเลกุลของสารอินทรีย์จำพวกสารลดแรงตึงผิวเข้าไปภายในระหว่างชั้นดินเหนียว เพื่อให้เกิดการแยกเปลี่ยนประจุระหว่างแอนิโอดอนที่อยู่บริเวณผิวน้ำของชั้นดินเหนียว และแคทโอดอนของสารลดแรงตึงผิว แรงวันเดอร์วอล์ต์ระหว่างชั้นดินเหนียวอ่อนลง ส่งผลให้ระยะห่างระหว่างชั้นเพิ่มสูงขึ้น ดังนั้นการปรับปรุงสมบัติทางเคมีของมอนท์莫ริล โลไลน์ท์ช่วยทำให้การยึดติดระหว่างเฟสของพอลิเมอร์และพื้นผิวของอนุภาคดินเหนียวเกิดได้ดีขึ้น และเป็นปัจจัยสำคัญในกระบวนการเตรียมพอลิเมอร์และพื้นผิวของอนุภาคดินเหนียวเกิดได้ดีขึ้น และเป็นปัจจัยสำคัญในกระบวนการเตรียมพอลิ

เมอร์ – ดินเหนียวนาโนคอมโพสิตด้วยเทคนิคต่างๆ (Alexandre *et al.*, 2000; Ray *et al.*, 2003; Pospisil *et al.*, 2004; Xiao *et al.*, 2003) ขั้นตอนการแยกเปลี่ยนไออกอนระหว่างโซเดียมแคลฟไออกอน (Na^+) และแคลฟไออกอนของสารลดแรงตึงผิวแสดงในรูปที่ 2.9

$$\begin{aligned} \text{เมื่อ } d_0 &= d - \text{spacing เริ่มต้น} \\ d &= d - \text{spacing หลังการเกิดการแยกเปลี่ยนแคลฟไออกอน} \end{aligned}$$

รูปที่ 2.9 การแยกเปลี่ยนไออกอนระหว่าง Na^+ และแคลฟไออกอนของสารลดแรงตึงผิว

2.4.1 การขยายระยะห่างระหว่างชั้น

การขยายระยะห่างระหว่างชั้นเป็นอยู่กับการจัดเรียง โมเลกุลของสารลดแรงตึงผิวที่เข้าไปแทนที่โซเดียมแคลฟไออกอน (Na^+) การแทนที่ไออกอนของสารลดแรงตึงผิวบริเวณผิวน้ำของชั้นดินเหนียวแบ่งเป็น 3 แบบ คือ การแทนที่แบบเบาบาง (lower coverage) การแทนที่แบบปานกลาง (medium coverage) และการแทนที่แบบหนาแน่น (high coverage) การแทนที่แบบต่างๆ แสดงในรูปที่ 2.10

การแทนที่แบบเบาบาง คือ โมเลกุลของสารลดแรงตึงผิวบริเวณผิวน้ำของชั้นดินเหนียวมีปริมาณน้อย เมื่อมีการจัดเรียง โมเลกุลภายในระหว่างชั้นดินเหนียว โมเลกุลของสารลดแรงตึงผิวสามารถจัดเรียง โมเลกุลได้อย่างอิสระ เพราะมีพื้นที่ภายในระหว่างชั้นมากเพียงพอสำหรับการจัดเรียง โมเลกุลจึงไม่ส่งผลต่อการเปลี่ยนแปลงของชั้นดินเหนียว ทำให้ระยะห่างระหว่างชั้นของชั้นดินเหนียวมีการขยายตัว และโมเลกุลของสารลดแรงตึงผิวที่อยู่ภายในระหว่างชั้นดินเหนียนี้สามารถจัดเรียงโครงสร้างแบบพับทบไปมาได้ดังรูปที่ 2.10 (a) (He *et al.*, 2005; Ray *et al.*, 2003; Paul *et al.*, 2005; Xiao *et al.*, 2003)

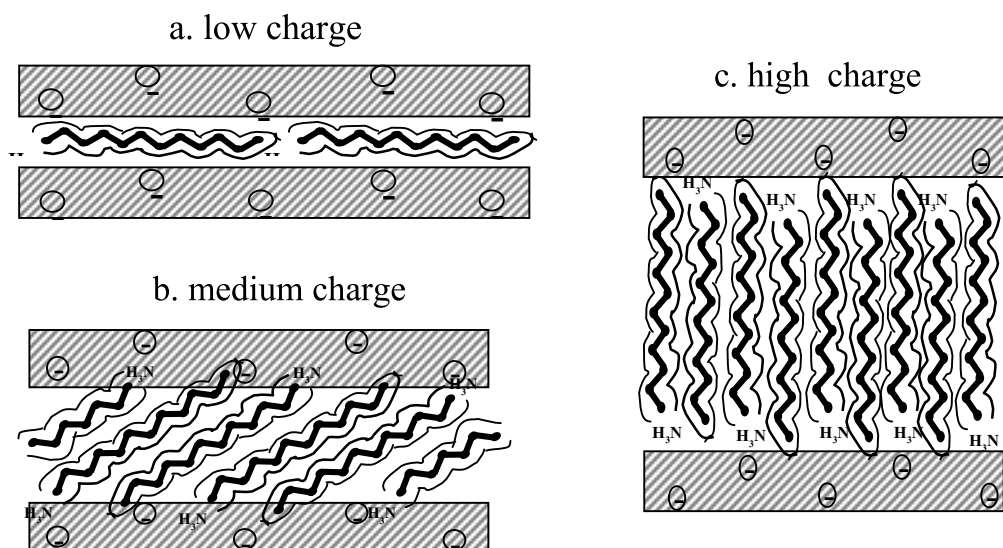
การแทนที่แบบหนาแน่น จะทำให้ระยะห่างระหว่างชั้นดินเหนียวขยายกว้างขึ้น เนื่องจากสารลดแรงตึงผิวต้องการจัดเรียง โมเลกุลให้มีอิสระ เมื่อมีโมเลกุลของสารลดแรงตึงผิว

แลกเปลี่ยนกับแอนิโอดอนเป็นจำนวนมากที่บริเวณผิวน้ำของชั้นดินเหนียว โนเมเลกุลจำเป็นต้องยึดออกเพื่อลดความเครียดภายในโนเมเลกุล การจัดเรียงโนเมเลกุลไปในทิศทางเดียวกันในแนวตั้ง ส่งผลให้แรงวันเดอร์วาร์ะห่วงชั้นอ่อนลง ระยะห่างระหว่างชั้นดินเหนียวจึงกว้างขึ้นดังรูปที่ 2.10 (c)

การคำนวณปริมาณของสารลดแรงตึงผิวที่ใช้สำหรับปฏิกริยาการแลกเปลี่ยนแคทไอโอดอน สามารถคำนวณได้ตามสมการที่ 2.1 (Yeh *et al.*, 2003)

$$\text{CEC} \times Y \times Z = (X / M_w \text{ of Intercalating agent}) \times 1000 \quad (2.1)$$

เมื่อ CEC = ความสามารถในการแลกเปลี่ยนประจุต่อ 100 g ของ MMT
 Y = ปริมาณมอนท์โนริลโลไลท์ (g)
 Z = ความเข้มข้นของสารลดแรงตึงผิว
 X = ปริมาณสารลดแรงตึงผิว (g)
 M_w = น้ำหนักโนเมเลกุลของสารลดแรงตึงผิว



รูปที่ 2.10 ลักษณะการจัดเรียงโนเมเลกุลของสารลดแรงตึงผิว (a) การแทนที่แบบเบาบาง (lower coverage) (b) การแทนที่แบบปานกลาง (medium coverage) (c) การแทนที่แบบหนาแน่น (high coverage) (Grim, 1968)

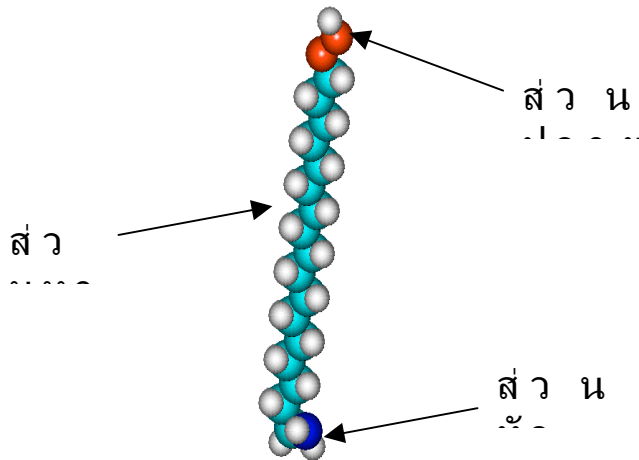
2.4.2 ชนิดของสารลดแรงตึงผิว

สารลดแรงตึงผิวเป็นส่วนสำคัญในกระบวนการสังเคราะห์ดินเหนียวปรับสภาพ และกระบวนการเตรียมพอลิเมอร์ – ดินเหนียวนาโนคอมโพลิท สารลดแรงตึงผิวประกอบด้วยส่วนสำคัญทั้งหมด 3 ส่วน คือ ส่วนหัว (attachment) ส่วนหาง (bulk) และส่วนปลาย (surface) โดยสร้างของสารลดแรงตึงผิวแสดงในรูปที่ 2.11

1. ส่วนหัว เป็นส่วนสำคัญในการแทนที่ไอออนบริเวณผิวน้ำของชั้นดินเหนียว ทำหน้าที่ในการเพิ่มความเสถียร ความยืดหยุ่น ดึงดูดและยึดติดกับเนื้อไอออนอย่างเหนียวแน่น
2. ส่วนหาง ทำหน้าที่ในการรับแรงเฉือนและแรงกระแทก
3. ส่วนปลายทำหน้าที่ในส่วนของพื้นผิวน้ำสัมผัสในการยึดติด เชื่อมต่อและสัมผัสกับสารอื่นๆ

โมเลกุลสารลดแรงตึงผิวมีได้หลายแบบ เช่น แบบหนึ่งหาง หมายถึง มีไอกอกรับอนโซไซด์เพียงหนึ่งโมเลกุล ส่วนแบบสองหาง หมายถึง มีไอกอกรับอนโซไซด์ทั้งสองโมเลกุล มีส่วนหางสองตำแหน่ง ส่วนแบบสามหาง หมายถึง มีไอกอกรับอนโซไซด์ทั้งสามโมเลกุล มีส่วนหางสามตำแหน่ง ลักษณะของสารลดแรงตึงผิวทั้งสามชนิดแสดงในรูปที่ 2.12

โมเลกุลของสารลดแรงตึงผิวทำหน้าที่ในการขยายระยะห่างระหว่างชั้นให้กว้างขึ้น และเกี่ยวพันกับโมเลกุลของพอลิเมอร์ระหว่างการสังเคราะห์พอลิเมอร์ – ดินเหนียวนาโนคอมโพลิท (เดิมศักดิ์, 2548)



รูปที่ 2.11 ลักษณะและส่วนประกอบของสารลดแรงตึงผิว (VV Tsukruk, 2001)



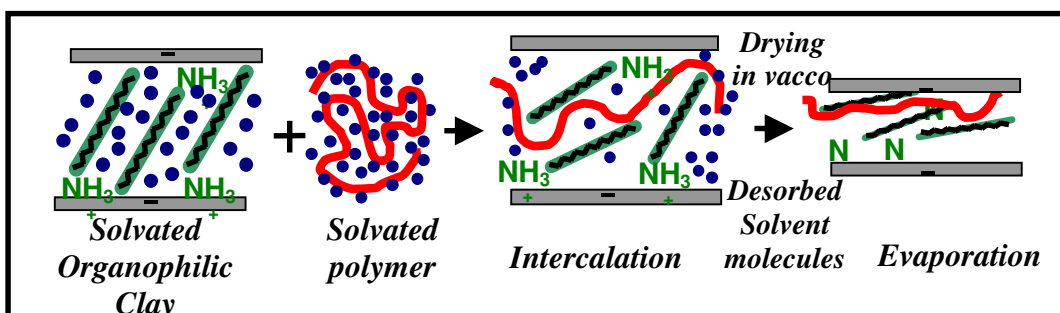
รูปที่ 2.12 ลักษณะและชนิดของสารลดแรงตึงผิว

2.5 กระบวนการเตรียมและสัมฐานวิทยาของพอลิเมอร์ – ดินเหนียวนาโนคอมโพสิต

2.5.1 การเตรียมพอลิเมอร์ – ดินเหนียวนาโนคอมโพสิตด้วยเทคนิคสารละลาย

(Intercalation of polymer or pre-polymer from solution)

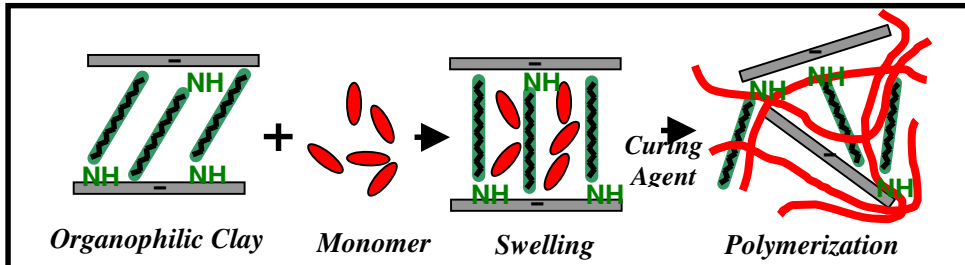
เทคนิคนี้มีตัวทำละลายเข้ามาเกี่ยวข้อง และตัวทำละลายที่เลือกใช้ต้องมีความเหมาะสมกับพอลิเมอร์และดินเหนียว ค่าการละลายต้องมีค่าใกล้เคียงกันและตัวทำละลายต้องละลายพอลิเมอร์ได้สมบูรณ์และทำให้ชั้นดินเหนียวเกิดการบวมตัว (swelling) ทำให้โครงสร้างของชั้นดินเหนียวมีความอ่อนตัวและยืดหยุ่น แรงดึงดูดระหว่างชั้นดินเหนียวจึงอ่อนลง ไม่เลกฤทธิ์ของพอลิเมอร์แทรกเข้าไปภายในระหว่างชั้นของดินเหนียวได้ (Alexandre *et al.*, 2000) พอลิเมอร์ – ดินเหนียวนาโนคอมโพสิตที่เตรียมด้วยเทคนิคแบบนี้ เช่น พอลิอิมีด (Zhang *et al.*, 2004; Liang *et al.*, 2004; Yang *et al.*, 1999; Agag *et al.*, 2001; Magaraphan *et al.*, 2001) พอลิชัลฟอน (Sur *et al.*, 2001; Yeh *et al.*, 2003) พอลิไวนิลไพริโอลิโคน (Hayama *et al.*, 2004) และพอลิเอทิลีนไกล็อกอล (Baker *et al.*, 2004) เป็นต้น กระบวนการเตรียมด้วยเทคนิคนี้แสดงในรูปที่ 2.13



รูปที่ 2.13 การเตรียมพอลิเมอร์ – ดินเหนียวนาโนคอมโพสิตด้วยเทคนิคสารละลาย

2.5.2 การเตรียมพอลิเมอร์ - ดินเหนียวนาโนคอมโพสิตด้วยเทคนิคพอลิเมอร์ไรซ์มอนอเมอร์ (In situ intercalative polymerization)

เทคนิคการผสมแบบนี้ประกอบด้วยสามองค์ประกอบ คือ มอนอเมอร์ ดินเหนียว และตัวทำละลาย โดยตัวทำละลายทำให้ชั้นดินเหนียวเกิดการบวมตัวและมอนอเมอร์เกิดการพอลิเมอร์ไรซ์เป็นพอลิเมอร์ภายในระหว่างชั้นดินเหนียว ใช้ตัวเริ่มในการพอลิเมอร์ไรซ์ เช่น ความร้อน รังสี หรือตัวเร่งปฏิกิริยาในกระบวนการสังเคราะห์ได้ (Alexandre, 2000) ปฏิกิริยาการสังเคราะห์ดังรูปที่ 2.14 พอลิเมอร์ – ดินเหนียวนาโนคอมโพสิตที่เตรียมด้วยเทคนิคแบบนี้ เช่น พอลิคาร์บอเนต (Gorrasí *et al.*, 2003) พอลิสไตรีน (Chen *et al.*, 2001; Moet *et al.*, 1993; Okamoto *et al.*, 2000) พอลิเมทิลเมทาไครเลท (Okamoto *et al.*, 2000) พอลิเอทธิลีน (Yeh *et al.*, 2002) พอลิอิมิเด (Delozier *et al.*, 2003) และพอลิแอนนิลีน (Yoshimoto *et al.*, 2004) เป็นต้น

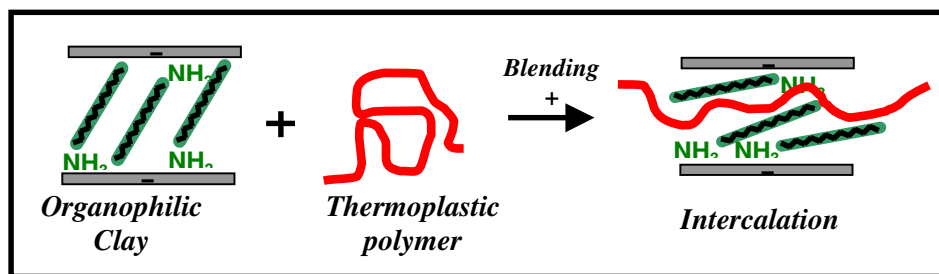


รูปที่ 2.14 การเตรียมพอลิเมอร์- ดินเหนียวนาโนคอมโพสิตด้วยเทคนิคพอลิเมอร์ไรซ์มอนอเมอร์

2.5.3 การเตรียมพอลิเมอร์ – ดินเหนียวนาโนคอมโพสิตด้วยเทคนิคหลอมโดยใช้ความร้อน (Melt intercalation)

เทคนิคหลอมโดยใช้ความร้อน เป็นกระบวนการที่เกิดขึ้นภายใต้การให้ความร้อน และแรงเนื้อ (ทำให้เกิดการหลอมเหลวโดยใช้ความร้อนภายใต้แรงเนื้อ) แรงเนื้อทำให้เกิดการเปลี่ยนแปลงระหว่างชั้นของดินเหนียว ถ้ามีแรงเนื้อมากระทำสูงๆ ชั้นของดินเหนียวสามารถแยกออกจากกันได้ เพราะโครงสร้างของดินเหนียวเชื่อมยึดติดระหว่างชั้นด้วยแรงวนเดอร์วัล์อ่อนๆ ทำให้ไม่เลกุลงของพอลิเมอร์สามารถเกิดการแทรกเข้าไปภายในระหว่างชั้นดินเหนียวได้ กระบวนการ

การเตรียมด้วยเทคนิคนี้แสดงในรูปที่ 2.15 การใช้เทคนิคหลอมโดยใช้ความร้อนสามารถใช้กับพอลิเมอร์ที่ไม่สามารถเตรียมแบบสารละลายและแบบพอลิเมอร์ไรซ์มอนومอร์ได้ และปัจจุบันเทคนิคนี้เริ่มเป็นที่นิยมในเชิงอุตสาหกรรมมากขึ้น พอลิเมอร์ – ดินเหนียวนาโนคอมโพสิตที่เตรียมด้วยเทคนิคนี้ เช่น พอลิเอทธิลีน (Hotta *et al.*, 2004; Zhai *et al.*, 2004; Zhang *et al.*, 2005; Shah *et al.*, 2006) พอลิโพร์พิลีน (Zhang *et al.*, 2004; Ding *et al.*, 2004) พอลิเอโไมค์ (Kim *et al.*, 2001; Liu *et al.*, 2003; Qin *et al.*, 2003) พอลิเอทธิลีนไวนิลอะซีเตต (Tang *et al.*, 2002; Zhang *et al.*, 2003) พอลิยูรีเทน (Xiong *et al.*, 2004) และพอลิอีเทอร์อิมิค (Huang *et al.*, 2001) เป็นต้น



รูปที่ 2.15 การเตรียมพอลิเมอร์ – ดินเหนียวนาโนคอมโพสิตด้วยเทคนิคหลอมโดยใช้ความร้อน

2.6 ชนิดของโครงสร้างพอลิเมอร์ – ดินเหนียวคอมโพสิต

โครงสร้างของชั้นดินเหนียวมีขนาดเล็กและมีความหนาประมาณ 1 nm เมื่อดินเหนียวจะระจายตัวภายในเนื้อพอลิเมอร์ โครงสร้างของชั้นดินเหนียวสามารถเกิดขึ้นได้หลายแบบ อาจมีโครงสร้างแบบกระจายสม่ำเสมอทั่วเนื้อพอลิเมอร์ หรือชั้นดินเหนียวมีการเปลี่ยนแปลงขยายระยะห่างระหว่างชั้นเพิ่มขึ้น เนื่องจากไม่เกิดข้อจำกัดของพอลิเมอร์สามารถแทรกเข้าไปภายในระหว่างชั้นดินเหนียวได้ หรือไม่มีการเปลี่ยนแปลงของชั้นดินเหนียวเกิดขึ้น ไม่เกิดข้อจำกัดของพอลิเมอร์ไม่สามารถแทรกเข้าไปภายในระหว่างชั้นได้ ลักษณะโครงสร้างแบบต่างๆแสดงในรูปที่ 2.16 สามารถแบ่งชนิดของโครงสร้างพอลิเมอร์ – ดินเหนียวคอมโพสิตได้ 3 แบบ ตามลักษณะการจัดเรียงอนุภาคดินเหนียว (Alexandre *et al.*, 2000; Ray *et al.*, 2003; Pinnavaia and Beall, 2001) คือ

1) ไมโครคอมโพสิต (microcomposite)

โครงสร้างของพอลิเมอร์ – ดินเหนียวคอมโพสิตแบบนี้ อนุภาคดินเหนียวไม่มีการขยายระยะห่างระหว่างชั้นเกิดขึ้น ไม่เกิดข้อจำกัดของพอลิเมอร์ไม่สามารถแทรกสายโซ่พอลิเมอร์เข้าไป

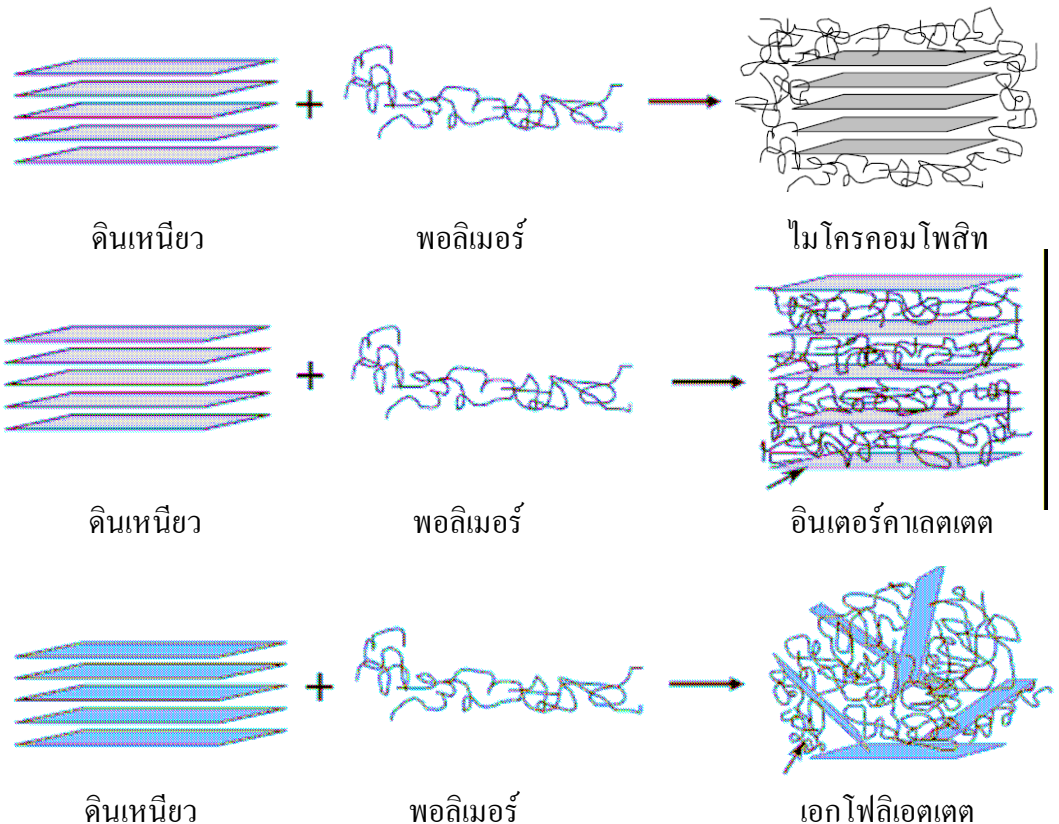
ภายในระหว่างชั้นดินเหนียวได้ และอนุภาคของดินเหนียวรวมตัวเกาะเป็นกลุ่มก้อนหลายๆชั้นภายในเนื้อพอลิเมอร์

2) อินเตอร์คาเลตเตต (intercalated)

โครงสร้างของพอลิเมอร์ – ดินเหนียวนาโนคอมโพลิทแบบนี้ ชั้นดินเหนียวสามารถขยายระยะห่างระหว่างชั้นได้ เพราะไม่เลกุลของพอลิเมอร์สามารถแทรกไม่เลกุลเข้าไปภายในระหว่างชั้นดินเหนียวได้ ทำให้แรงวันเดอร์วาร์ดระหว่างชั้นอ่อนลง ค่าระยะห่างระหว่างชั้นจึงเพิ่มสูงขึ้น

3) เอกโพลิเอตเตต (exfoliated)

โครงสร้างของพอลิเมอร์ – ดินเหนียวนาโนคอมโพลิทแบบนี้ ชั้นดินเหนียวมีการขยายระยะห่างระหว่างชั้นเกิดขึ้นและชั้นดินเหนียวถูกแรงเลื่อนหรือแรงกระทำ ทำให้ชั้นดินเหนียวแยกออกจากกัน ชั้นดินเหนียวที่แยกออกจากจะกระจายอยู่ภายในเนื้อพอลิเมอร์อย่างสม่ำเสมอ

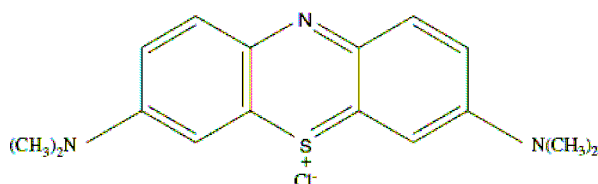


รูปที่ 2.16 ชนิดของโครงสร้างพอลิเมอร์ – ดินเหนียวคอมโพสิต (Padmanada *et al.*, 1995)

2.7 การตรวจสอบโครงสร้างและสมบัติของดินเหนียว

2.7.1 การตรวจสอบค่าการแลกเปลี่ยนแคทไอออน (ASTM C837-81)

การตรวจสอบค่าการแลกเปลี่ยนแคทไอออน สามารถศึกษาจากค่าดัชนีเมทิลีนบลู (methylene blue index, MBI) ตามมาตรฐาน ASTM C837-81 (standard test method for methylene blue index of clay) โดยประจุลบของชั้นดินเหนียวจะเกิดการแลกเปลี่ยนไอออนกับแคทไอออนของสารละลายเมทิลีนบลู สูตรโครงสร้างของสารละลายเมทิลีนบลูแสดงในรูปที่ 2.17 เมื่อเกิดการแลกเปลี่ยนไอออนสารละลายดินเหนียวเกิดการเปลี่ยนสี เนื่องจากมีการดูดซับสีของอะโรมาติกแคทไอออนนิก (aromatic cationic dyes) ในโครงสร้างของเมทิลีนบลู ปฏิกิริยาทางเคมีของการแลกเปลี่ยนไอออนระหว่างสารละลายดินเหนียว และสารละลายเมทิลีนบลูแสดงในสมการที่ 2.2



รูปที่ 2.17 สูตรโครงสร้างทางเคมีของสารละลายเมทิลีนบลู (Ozacar *et al.*, 2006)



2.7.2 การตรวจสอบการบวมตัวของดินเหนียวและดินเหนียวปรับสภาพ (ASTM D5890 - 95)

ดินเหนียวในกลุ่มฟิลโลไซลิกेटตามโครงสร้างสามารถขยายระยะห่างระหว่างชั้นได้อย่างอิสระเมื่อเกิดการผสมกับตัวทำละลาย เพราะตัวทำละลายจะทำให้โครงสร้างของชั้นดินเหนียวยืดหยุ่น ระยะห่างระหว่างชั้นเกิดการเปลี่ยนแปลงเพิ่มขึ้น โดยตัวทำละลายที่เลือกใช้มีความสำคัญมากในกระบวนการทดสอบการบวมตัว เพราะโครงสร้างของดินเหนียวอนท์โนริลโลไนท์จะเป็นโมเลกุลมีชี้ว ดังนั้นตัวทำละลายที่เลือกใช้ต้องมีชี้ว เช่นเดียวกัน การตรวจสอบดัชนีการบวมตัว (swelling index) ของดินเหนียวและดินเหนียวปรับสภาพ สามารถศึกษาจากระดับปริมาตรของดินเหนียวที่มีการเปลี่ยนแปลงไปภายใต้ระยะเวลาที่กำหนด ตามมาตรฐาน ASTM D5890 - 95 (Standard Test Method for Swell Index of Clay Mineral Component of Geosynthetic Clay Liners)

โดยค่าดัชนีการบรวมตัวของดินเหนียวเลือกใช้ปริมาตรที่มีการเปลี่ยนแปลงสุดท้ายที่อ่านค่าได้ รายงานผลในหน่วย ml ต่อดินเหนียว 2 g (Burgentzle *et al.*, 2004; He *et al.*, 2006)

2.7.3 การตรวจสอบค่าระยะห่างระหว่างชั้น (Pual *et al.*, 2005)

โครงสร้างของดินเหนียวมอนท์โมริโลไนท์เป็นแผ่นบางเรียบซ้อนกันหลายชั้น และค่าระยะห่างระหว่างชั้นมีได้หลายค่า ขึ้นอยู่กับแคทไอออนที่เกิดการแยกเปลี่ยน ไอออนบริเวณผิวน้ำของชั้นดินเหนียว ตัวอย่างดินเหนียวชนิดโซเดียม – มอนท์โมริโลไนท์ ($\text{Na}^+ - \text{MMT}$) มีค่าระยะห่างระหว่างชั้นประมาณ $1.1 - 1.2 \text{ nm}$ ซึ่งเกิดจากชั้นดินเหนียวมีความหนาประมาณ 1.0 nm รวมกับอะตอมของโซเดียมแคทไอออนที่มีขนาดประมาณ $0.1 - 0.2 \text{ nm}$ (Pual *et al.*, 2005) เมื่อทำการสังเคราะห์ดินเหนียวปรับสภาพ สามารถคำนวณค่าระยะห่างระหว่างชั้นได้จากการที่ 2.3 และ 2.4 ดังนี้

$$\frac{\text{Volume of organic}}{\text{Volume of MMT}} = \frac{d - d_0}{d_0} = \frac{\Delta d}{d_0} = \left(\frac{\text{Mass of organic}}{\text{Mass of MMT}} \right) \frac{\rho_{\text{MMT}}}{\rho_{\text{org}}} \quad (2.3)$$

$$\Delta d = d_0 \left(\frac{\rho_{\text{MMT}}}{\rho_{\text{org}}} \right) \left(\frac{\text{Mass of organic}}{\text{Mass of MMT}} \right) \quad (2.4)$$

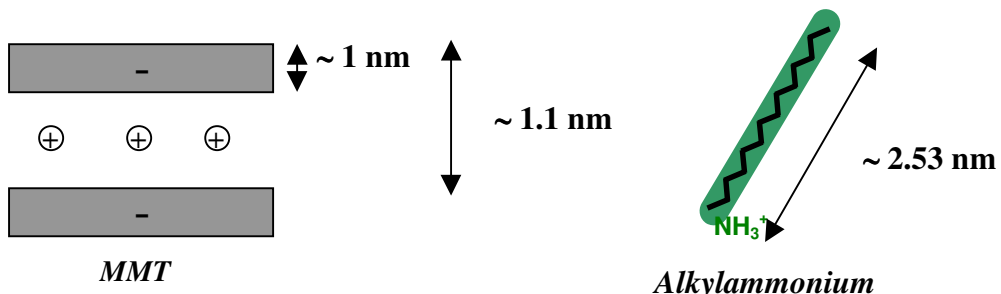
เมื่อ	volume of organic	=	ปริมาตรของสารอินทรี
	volume of MMT	=	ปริมาตรของดินเหนียว MMT
	Mass of organic	=	ปริมาณสารอินทรีในการสังเคราะห์ (g)
	Mass of MMT	=	ปริมาณดินเหนียวในการสังเคราะห์ (g)
d		=	ค่าระยะห่างระหว่างชั้นหลังการสังเคราะห์
d ₀		=	ค่าระยะห่างระหว่างชั้นก่อนการสังเคราะห์
Δd		=	ค่าระยะห่างระหว่างชั้นเฉลี่ย
ρ_{MMT}		=	ความหนาแน่นของ MMT เท่ากับ 2.35 g/cm^3
ρ_{org}		=	ความหนาแน่นของสารอินทรี

ขนาดอนุภาคของชั้นดินเหนียวและสารลดแรงตึงผิวแสดงในตารางที่ 2.7 และรูปที่ 2.18 ดินเหนียวปรับสภาพที่มีการแลกเปลี่ยนแคทไอออนกับสารลดแรงตึงผิวโซเดียม (คาร์บอน 12 ตัว) มีขนาดอนุภาคจากการคำนวณประมาณ 1.83 nm ดินเหนียวปรับสภาพที่มีการแลกเปลี่ยนแคทไอออนกับสารลดแรงตึงผิวโซเดียม (คาร์บอน 16 ตัว) มีขนาดอนุภาคจากการคำนวณประมาณ 2.30 nm และดินเหนียวปรับสภาพที่มีการแลกเปลี่ยนแคทไอออนกับสารลดแรงตึงผิวโซเดียม (คาร์บอน 18 ตัว) มีขนาดอนุภาคจากการคำนวณประมาณ 2.53 nm ดังนี้เมื่อไม่เกิดสารลดแรงตึงผิวเกิดการแลกเปลี่ยนไอออนระหว่างชั้นดินเหนียว จึงทำให้ระยะห่างระหว่างชั้นดินเหนียวเพิ่มสูงขึ้น

ตารางที่ 2.7 ขนาดอนุภาคของชั้นดินเหนียว โซเดียม ไอออน และสารลดแรงตึงผิว

สาร	ขนาดอนุภาค (nm)
ชั้นดินเหนียว	~ 1.00
โซเดียม ไอออน	~ 0.10
NH_3^+	~ 0.43
สารลดแรงตึงผิว (C_{12})	~ 1.40
NH_3^+	~ 0.43
สารลดแรงตึงผิว (C_{16})	~ 1.87
NH_3^+	~ 0.43
สารลดแรงตึงผิว (C_{18})	~ 2.10

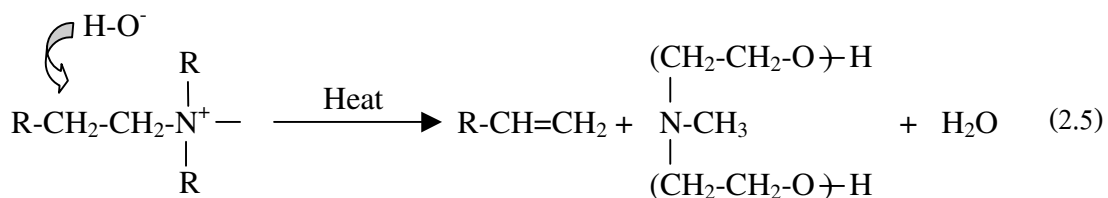
ที่มา : He *et al.*, 2005



รูปที่ 2.18 ลักษณะโครงสร้างของชั้นดินเหนียว สารลดแรงตึงผิวและขนาดของอนุภาค

2.7.4 การตรวจสอบสมบัติทางความร้อน

สมบัติทางความร้อนของดินเหนี่ยวและดินเหนี่ยวปรับสภาพ สามารถตรวจสอบได้จากเครื่องเทอร์โมกราฟิมตริก (thermogravimetric analysis, TGA) และเทคนิคนี้สามารถตรวจสอบปริมาณของสารลดแรงตึงผิวในดินเหนี่ยวปรับสภาพได้ โดยศึกษาจากน้ำหนักของสารที่หายไปเมื่อให้ความร้อนระหว่างดินเหนี่ยวและดินเหนี่ยวปรับสภาพ ช่วงอุณหภูมิ 25 – 140°C เป็นช่วงการระเหยของน้ำที่เกิดการแตกเปลี่ยนไอออนอยู่บริเวณผิวน้ำของชั้นดินเหนี่ยว (Lee *et al.*, 2004) ช่วงอุณหภูมิ 200 - 500°C เป็นช่วงการสลายตัวของสารลดแรงตึงผิว (He *et al.*, 2006) และช่วงอุณหภูมิ 500 - 700°C เป็นช่วงการสลายตัวของโครงสร้างดินเหนี่ยว (Burgentzle *et al.*, 2004; Zhang *et al.*, 2005) ปฏิกิริยาทางเคมีของการสลายตัวของสารลดแรงตึงผิวเมื่อได้รับความร้อนแสดงในสมการที่ 2.5 สาเหตุที่ดินเหนี่ยวมอนท์莫ริลโลไนท์มีความเสถียรทางความร้อนสูง เกิดจากโครงสร้างที่จัดเรียงซ้อนทับกันไปมาเป็นชั้นๆ ทำให้การเสื่อมสลายของโครงสร้างจากการเผาไหม้เกิดได้ช้าลง (Qin *et al.*, 2003)

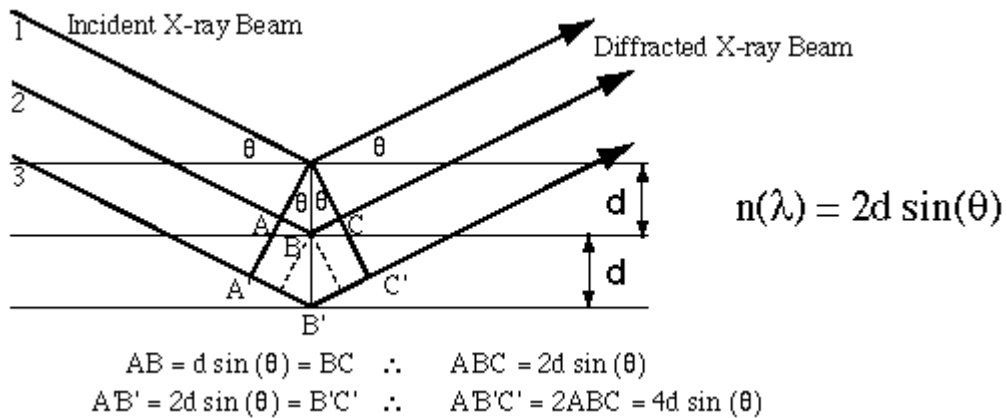


2.8 การทดสอบสมบัติของพอลิเมอร์ – ดินเหนี่ยวนาโนคอมโพสิต

2.8.1 การตรวจสอบโครงสร้างของพอลิเมอร์ – ดินเหนี่ยวนาโนคอมโพสิต

ด้วยเครื่องตรวจสอบการกระเจิงของรังสีเอกซ์ (X - ray diffractometer)

เครื่องตรวจสอบการกระเจิงของรังสีเอกซ์ คือ เทคนิคการตรวจวัดการเลี้ยวเบนของรังสีเอกซ์ (X - Ray diffraction, XRD) เมื่อตกกระทบผิวน้ำของผลึกทำมูน θ บางส่วนของรังสีเอกซ์เกิดการกระเจิงด้วยชั้นของอะตอมที่ผิวน้ำ ขั้นตอนการกระเจิงแสงของรังสีเอกซ์แสดงในรูปที่ 2.19



เมื่อ θ = มุมต่อกำแพงและมุมสะท้อน

d = ระยะห่างระหว่างอะตอม

รูปที่ 2.19 ลำรังสีเอกซ์ต่อกำแพงและการเกิดสะท้อนกับผิวน้ำของวัตถุ

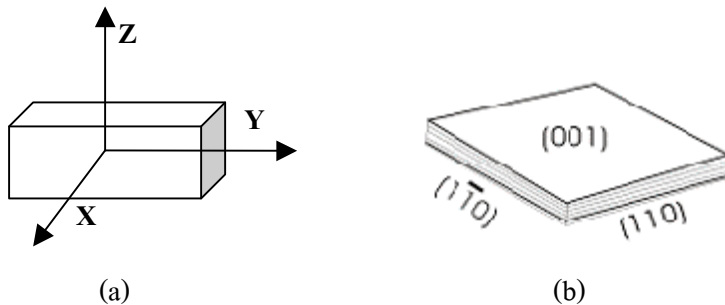
การกระเจิงแสงของรังสีเอกซ์ทำให้สามารถหาค่า d - spacing ของชั้นดินเหนียวได้โดยใช้สมการการเลี้ยวเบนของรังสีเอกซ์ในสมการที่ 2.6 สมการนี้เรียกว่า “ สมการของแบรค (bragg equation) ” (<http://www.binghamton.edu>, 2549) และรายงานค่า d - spacing ของดินเหนียว ในรูปแบบ d_{001} ซึ่งแสดงถึงระยะห่างระหว่างชั้นของดินเหนียวจากชั้นหนึ่งไปยังอนุภาคดินเหนียว อีกชั้นหนึ่งวัดจากอนุภาคดินเหนียวตามแนวความกว้าง (แกน X) ความยาว (แกน Y) และแนวตั้ง (แกน Z) ตามลำดับ ดังรูปที่ 2.20 (a) เพราะโครงสร้างของชั้นดินเหนียวมีลักษณะเป็นแผ่นๆเรียง ชั้นทับกัน โครงสร้างของชั้นดินเหนียวจะมีระยะห่างตามแนวความกว้างและความยาวไม่สามารถหาค่าที่แน่นอนได้จัดอยู่ในระยะอนันต์ (∞) แต่แนวแกนตั้งหรือความหนาของชั้นดินเหนียวจะมีระยะห่างที่แน่นอน ได้แก่ $X = \infty$, $Y = \infty$, $Z = 1$ กลับเศษเป็นส่วนได้ $1/\infty = 0$, $1/\infty = 0$, $1/Z = 1$ ดังนั้น ระยะของชั้นดินเหนียว คือ 001 ลำรังสีเอกซ์จึงต่อกำแพงบนอนุภาคดินเหนียวในรูปแบบ 001 เท่านั้น (แม่น, 2537)

$$n\lambda = 2d \cdot \sin \theta \quad (2.6)$$

เมื่อ n = ตัวเลขจำนวนเต็ม

λ = ความยาวคลื่น (nm)

$$\begin{aligned} d &= \text{ระยะห่างระหว่างชั้น} (\text{\AA}) \\ \theta &= \text{มุมของการเลี้ยวเบน} \end{aligned}$$



รูปที่ 2.20 (a) ระนาบของชั้นดินเหนียวตามแนวแกน X แกน Y และแกน Z (b) ลักษณะของชั้นดินเหนียวและระนาบของชั้นดินเหนียว

การศึกษาค่าระยะห่างระหว่างชั้นของดินเหนียวด้วยการกระเจิงแสงของรังสีเอกซ์ มีข้อจำกัดในการตรวจสอบ คือ กรณีโครงสร้างของชั้นดินเหนียวเป็นแบบเอกโพลิเอชัน ชั้นดินเหนียวจะหายในเนื้อพอลิเมอร์スマ่เสมอและชั้นแยกออกจากกัน ทำให้ไม่สามารถหาค่าระยะห่างระหว่างชั้นได้ เนื่องจากโครงสร้างของชั้นดินเหนียวแยกออกจากกันกว้างมากเกินไป สำหรับรังสีเอกซ์ ไม่ตกรอบบริเวณชั้นดินเหนียวที่จัดเรียงโครงสร้างเป็นแผ่นๆเรียงช้อนกัน จึงไม่แสดงスペกตรัมการกระเจิงของรังสีเอกซ์ได้ และกรณีการเตรียมพอลิเมอร์ – ดินเหนียวนาโนคอมโพสิตที่มีการเติมดินเหนียวในปริมาณน้อยๆ อาจไม่สามารถหาค่าระยะห่างระหว่างชั้นได้ชั้นกัน เพราะมีปริมาณดินเหนียวน้อยเกินไปทำให้อนุภาคดินเหนียวกระจายในเนื้อพอลิเมอร์ได้ไม่สม่ำเสมอ เมื่อสำหรับรังสีเอกซ์ ตกกระทบจึงตกกระทบบริเวณเนื้อพอลิเมอร์เป็นหลัก สเปกตรัมการกระเจิงของรังสีเอกซ์จึงไม่สามารถหาค่าระยะห่างชั้นดินเหนียวได้ชั้นกัน (Alexandre *et al.*, 2000)

2.8.2 การศึกษาโครงสร้างของชั้นดินเหนียวด้วยกล้องจุลทรรศน์แบบส่องผ่าน

(transmissions electron microscope, TEM)

โครงสร้างของดินเหนียวอนท์โมริโลไลน์ท์ ชั้นดินเหนียวเรียงช้อนทับกันไปมา จำนวนหลายๆแผ่นและขนาดอนุภาคของดินเหนียวมีขนาดเล็กมากประมาณ 1 - 30 nm ทำให้การศึกษาอนุภาคด้วยกล้องจุลทรรศน์แบบปกติไม่สามารถตรวจสอบได้ จำเป็นต้องศึกษาจากกล้องจุลทรรศน์อิเล็กตรอนแบบส่องผ่าน (transmission electron microscope, TEM) ซึ่งสามารถศึกษาอนุภาคขนาดเล็กในระดับนาโนได้ โดยใช้ลำแสงอิเล็กตรอนในการส่องผ่านตัวอย่าง และ TEM

สามารถศึกษาตัวอย่างที่มีขนาดเล็กตั้งแต่ 0.2 nm - 0.2 mm การศึกษาโครงสร้างพอลิเมอร์ - คืนเนียนยวนานิโคนคอมโพสิตด้วยเครื่อง TEM เป็นการศึกษาคุณภาพวิเคราะห์เพื่อตรวจสอบโครงสร้างที่แท้จริงของชั้นคืนเนียนยવภายในเนื้อพอลิเมอร์ การตรวจสอบลักษณะโครงสร้างของชั้นคืนเนียนยวแบบอินเตอร์คาเดชันและเอกโซลิเชนสามารถยืนยันโครงสร้างที่แท้จริงได้ด้วยเครื่อง TEM

2.8.3 การทดสอบสมบัติเชิงกลของพอลิเมอร์ (จันตมัย, 2547)

สมบัติเชิงกลเป็นสมบัติที่สำคัญของพอลิเมอร์ เป็นสมบัติที่แสดงถึงพฤติกรรมของวัสดุในการตอบสนองต่อแรงภายนอกที่มากระทำ ไม่ว่าจะเป็นแรงดึง แรงกด หรือแรงกระแทก เมื่อวัสดุได้รับแรงกระทำวัสดุจะพยายามปรับตัวเพื่อผ่อนคลายความกดดัน โดยการเปลี่ยนแปลงรูปร่างจนถึงขีดหนึ่งที่ไม่สามารถรับแรงได้อีกต่อไปวัสดุนั้นจะขาดหรือแตกออก

2.8.3.1 การทดสอบแรงดึง (tensile test)

การทดสอบแรงดึงเป็นการทดสอบที่ได้รับความนิยมมากที่สุด และเป็นที่รู้จักมากที่สุดสำหรับการทดสอบสมบัติพื้นฐานทางกลของวัสดุ เป็นการวัดความสามารถของวัสดุที่ทนต่อแรงดึง ระยะที่วัสดุขีดออกก่อนขาด รวมทั้งมอดุลัส ซึ่งเป็นสิ่งสำคัญที่ใช้ให้เห็นถึงความแข็งแรงของวัสดุ การทดสอบสมบัติเชิงกลมีเรื่องความเค้น (stress) และความเครียด (strain) เข้ามาเกี่ยวข้องโดยการศึกษาความเค้นและความเครียดของวัสดุสามารถทำได้โดยการให้แรงกระทำแก้วัสดุ โดยส่วนใหญ่ชื่นตัวอย่างจะมีขนาดและรูปร่างตามมาตรฐาน จากนั้นจึงทำการวัดการตอบสนองของวัสดุดังกล่าวในรูปของการเปลี่ยนแปลงรูปร่างไปเมื่อแรงกระทำ

ความเค้น (σ) คือ แรงที่มากระทำต่อหนึ่งหน่วยพื้นที่ ซึ่งคำนวณได้จากค่าของแรง (F) หารด้วยพื้นที่ของวัสดุที่ตั้งฉากกับทิศของแรงนั้น (A) ตามสมการที่ 2.7 ดังนี้ ความเค้นจึงมีหน่วยเป็น N/m^2 หรือ พาสคาล (Pa) ในหน่วย SI

ความเครียด (ϵ) คือ เป็นการเปลี่ยนแปลงขนาดและรูปร่างของวัสดุเมื่อมีแรงมากระทำจากภายนอกคำนวณได้ตามสมการที่ 2.8 และเปอร์เซ็นต์ความเครียดคำนวณตามสมการที่ 2.9

$$\text{ความเค้น} = \frac{\text{แรง} (F)}{\text{พื้นที่หน้าตัดเริมต้น} (A)} \quad (2.7)$$

$$\text{ความเครียด} = \frac{\text{ความยาวที่เปลี่ยนแปลงไป} (\Delta L)}{\text{ความยาวเริมต้น} (L_0)} \quad (2.8)$$

$$\text{เปอร์เซ็นต์ความเครียด ณ จุดขาด} = (\Delta L / L_0) \times 100\% \quad (2.9)$$

เมื่อ F = แรงดึงที่ทำให้ชิ้นทดสอบขาด (N)
 A = พื้นที่หน้าตัดของชิ้นทดสอบขณะหักไปยึด (mm^2)
 ΔL = ความยาวสุดท้าย (L) - ความยาวเริ่มต้น (L_0)
 L = ระยะที่ชิ้นทดสอบสามารถยืดตัวได้จนขาด
 L_0 = ระยะกำหนดก่อนทำการทดสอบ

2.8.3.2 การทดสอบความต้านทานต่อแรงกระแทกแบบดึง (tensile impact property)

การทดสอบความต้านทานต่อแรงกระแทกแบบดึงเป็นการทดสอบความต้านทานของวัสดุภายใต้ความเค้นหรือแรงที่ส่งผ่านมาซึ่งชิ้นทดสอบด้วยอัตราเร็วสูงมาก โดยให้แรงกระทำต่อชิ้นทดสอบอย่างเฉียบพลัน หากชิ้นทดสอบมีความต้านทานต่อแรงกระทำสูงกว่าแรงที่ได้รับชิ้นทดสอบจะไม่เกิดความเสียหาย แต่หากชิ้นทดสอบมีความต้านทานต่อแรงกระทำต่ำกว่าชิ้นทดสอบจะเกิดความเสียหาย การทดสอบการต้านทานแรงกระแทกเป็นการทดสอบในเชิงพลังงาน และความสามารถในการกระจายตัวของพลังงานที่ได้รับหรือการสะสมพลังงาน ณ บริเวณใดบริเวณหนึ่งซึ่งเป็นจุดที่อ่อนแอที่สุด

ชุดทดสอบแรงกระแทกประกอบด้วยสองส่วนที่สำคัญ คือ หัวค้อนไฟด์กรอบ และฐานเพื่อวางชิ้นทดสอบ หัวค้อนไฟด์กรอบมีหลายขนาด ซึ่งมีความสัมพันธ์กับค่าพลังงานที่ต้องการทดสอบ เมื่อหัวค้อนถูกปล่อยลงมาจะเกิดการไฟด์กรอบกับชิ้นทดสอบ พลังงานส่วนหนึ่งถูกชิ้นทดสอบดูดซับไว้ สามารถคำนวณได้ตามสมการ 2.10 หน่วยของค่าพลังงานที่ชิ้นทดสอบดูดซับคือ J/m^2 หรือ kJ/m^2 (จินตมัย, 2547) สามารถคำนวณค่าพลังงานที่ชิ้นทดสอบดูดซับไว้ตามสมการที่ 2.10

$$\text{พลังงานที่ชิ้นทดสอบดูดซับไว้} = \frac{\text{พลังงานที่อ่านจากเครื่องทดสอบแรงกระแทก (J)}}{\text{ความหนา (mm)} \times \text{ความกว้าง (mm)}} \quad (2.10)$$

2.8.4 การวิเคราะห์ทางกลศาสตร์ความร้อนเชิงพลวัต

(dynamic mechanical thermal analysis, DMTA)

DMTA เป็นเครื่องมือที่ศึกษาลักษณะเฉพาะของวัสดุที่มีสมบัติเป็นวิชโคอิลาสติก ซึ่งเกิดจากการเปลี่ยนแปลงอุณหภูมิหรือความถี่ของวัสดุภายในตัวทำซ้ำๆ กัน (periodic stress) การตอบสนองของวัสดุสามารถแยกได้เป็น 2 ส่วน คือ ส่วนที่ยืดหยุ่น (elastic) และส่วนที่เป็นของเหลวหนืด (viscous liquid) ส่วนที่ยืดหยุ่นเกี่ยวข้องกับพลังงานที่เก็บสะสมไว้ในระบบ ในขณะที่ส่วนที่เป็นของเหลวหนืด เกี่ยวข้องกับพลังงานที่กระจายออกมายังรูปของความร้อน (energy dissipated หรือ damping) รายงานผลการทดสอบในรูปของพลังงานที่เกิดการสะสมภายในชั้นตัวอย่าง (storage modulus, E') และการสูญเสียพลังงานที่เกิดจากการทดสอบ (loss modulus, E'') และอัตราส่วนระหว่างค่าพลังงานที่เกิดการสูญเสียต่อพลังงานที่เก็บสะสมในชั้นทดสอบ ($\tan \delta$)

2.8.5 การวิเคราะห์น้ำหนักที่หายไปของตัวอย่างเมื่ออุณหภูมิสูงขึ้น

(thermogravimetric analysis, TGA)

TGA เป็นการศึกษาสมบัติทางความร้อนเกี่ยวกับน้ำหนักที่หายไปของวัสดุเมื่อให้ความร้อนภายใต้การไหลด้วยอุณหภูมิเพื่อวัดการเปลี่ยนแปลงน้ำหนักของสารเมื่ออุณหภูมิสูงขึ้นและศึกษาอุณหภูมิการเสื่อมสภาพของวัสดุเมื่ออุณหภูมิสูงขึ้น

2.8.6 การหาหมู่ฟังก์ชันของสารด้วยรังสีอินฟราเรด (infrared spectroscopy, IR)

การตรวจสอบหมู่ฟังก์ชันด้วยรังสีอินฟราเรด เป็นวิธีที่นิยมใช้ในการวิเคราะห์และศึกษาเกี่ยวกับโมเลกุลของสาร ซึ่งอาจอยู่ในสถานะของแข็ง ของเหลว หรือก๊าซ หลักการตรวจสอบด้วยเทคนิคนี้คือ ศึกษาข้อมูลเกี่ยวกับการสั่น (vibration) และการหมุน (rotation) ของโมเลกุล อินฟราเรดเป็นช่วงหนึ่งของスペกตรัมการแปรรังสีแม่เหล็กไฟฟ้า ซึ่งมีเลขคณิตอยู่ในช่วงประมาณ $12,800$ ถึง 10 cm^{-1} หรือมีช่วงความยาวคลื่นจาก 0.78 ถึง $1,000\text{ }\mu\text{m}$ การสั่นและการหมุนของโมเลกุลเกิดขึ้นเมื่อถูกรังสีอินฟราเรดเข้าไปกระตุ้นทำให้โมเลกุลเกิดการสั่นและการหมุน เกิดการดูดกลืนแสงทำให้โมเลกุลถูกกระตุ้นจากสภาวะพื้นไปสู่สภาวะเร้า แต่ละหมู่ฟังก์ชันจะมีการดูดกลืนแสงที่ความยาวคลื่นแตกต่างกันทำให้สามารถหาหมู่ฟังก์ชันของสารได้ (แม่น, 2537; Smith, 1999)

2.8.7 การตรวจสอบความหนืดของสารละลาย (solution viscosity)

ความหนืดเกิดขึ้นเมื่อของไหลดเกิดการไหลด ความเร็วของการไหลดและอัตราไหลดจะขึ้นกับความด้านทานภายในของไหลดนิดนั้น ความด้านทานเรียกว่า ความหนืด (η) ความหนืดมีผลเกี่ยวข้องกับน้ำหนักโมเลกุลของสาร ถ้า'n้ำหนักโมเลกุลของสารสูงค่าความหนืดจะสูง

และความหนึ่งของของเหลวแปรผันตรงกับเวลาที่ของเหลวไหลผ่านภาชนะรีวิชโกรಮิตเตอร์ โดยต้องทำการทดสอบที่อุณหภูมิคงที่ เนื่องจากอุณหภูมิมีอิทธิพลต่อความหนืด ที่อุณหภูมิสูงค่าความหนืดต่ำและที่อุณหภูมิต่ำค่าความหนืดสูง (Sandler *et al.*, 1998) การหาค่าความหนืดสัมพัทธ์และความหนืดจำเพาะสามารถคำนวณได้จากการที่ 2.11 และ 2.12 ตามลำดับ

$$\eta_r = \eta/\eta_0 \approx t/t_0 \quad (2.11)$$

$$\eta_{sp} = \eta_r - 1 = \frac{\eta - \eta_0}{\eta_0} \approx \frac{t - t_0}{t_0} \quad (2.12)$$

- เมื่อ η_{sp} = ความหนืดจำเพาะ (specific viscosity)
 η_r = ความหนืดสัมพัทธ์ (relative viscosity)
 η = ความหนืดของสารละลาย
 η_0 = ความหนืดของตัวทำละลาย
 t = เวลาของการไหลของสารละลาย (sec)
 t_0 = เวลาของการไหลของตัวทำละลาย (sec)

2.8.8 การทดสอบการดูดซับน้ำ (water absorption)

โครงสร้างของดินเหนียวมอนท์莫リโลไนท์สามารถเกิดการแตกเปลี่ยนไปอ่อนกับโมเลกุลของน้ำได้ โดยหากท่ออ่อนของน้ำจะเกิดการแตกเปลี่ยนประจุกับแอนไออกอนบริเวณผิวหน้าของชั้นดินเหนียว ดังนั้นจึงตรวจสอบสมบัติการดูดซับน้ำของพอลิเมอร์ – ดินเหนียวนาโนคอมโพสิต เพื่อศึกษาน้ำหนักของวัสดุที่เกิดการเปลี่ยนแปลงเมื่อมีการดูดซับน้ำเกิดขึ้น สามารถใช้สมการที่ 2.13 ในการคำนวณเปอร์เซนต์การเปลี่ยนแปลงน้ำหนักเมื่อมีการดูดซับน้ำ

$$P = \left[\frac{A - O}{O} \right] \times 100 \quad (2.13)$$

- เมื่อ P = ค่าเปอร์เซ็นต์การดูดซับน้ำของชิ้นตัวอย่าง
 O = น้ำหนักก่อนการดูดซับน้ำ
 A = น้ำหนักหลังการดูดซับน้ำ

2.8.9 การทดสอบความต้านทานสารเคมี (chemical resistance)

พอลิเมอร์แต่ละชนิดจะมีความต้านทานต่อสารเคมีที่แตกต่างกัน ขึ้นอยู่กับโครงสร้างและการจัดเรียงตัวของโมเลกุลพอลิเมอร์ภายในโครงสร้างและขึ้นอยู่กับชนิดของตัวทำละลายที่ทำการทดสอบ โดยพอลิเมอร์มีข้อสามารถถลายน้ำได้ แต่จะไม่ถลายน้ำในตัวทำละลายไม่มีข้อหรืออาจเกิดการบวมตัวเกิดขึ้น ส่วนพอลิเมอร์ไม่มีข้อสามารถถลายน้ำในตัวทำละลายไม่มีข้อ ความหมายจะว่าตัวทำละลายและพอลิเมอร์เป็นสมบัติการถลายน้ำที่สำคัญของพอลิเมอร์ชนิดนั้นๆ เพราะสามารถบ่งบอกถึงความต้านทานสารเคมีของพอลิเมอร์ได้ การเปลี่ยนแปลงน้ำหนักเกิดขึ้นเมื่อมีการบวมด้วยในตัวทำละลายสามารถคำนวณค่าการเปลี่ยนแปลงได้ในสมการที่ 2.14

$$P = \left[\frac{A - B}{B} \right] \times 100 \quad (2.14)$$

เมื่อ P = ค่าเบอร์เซ็นต์การถลายน้ำของชิ้นตัวอย่าง

B = น้ำหนักก่อนการแซ่ชิ้นตัวอย่างในสารเคมี

A = น้ำหนักหลังการแซ่ชิ้นตัวอย่างในสารเคมี

2.8.10 การตรวจสอบลักษณะความโปร่งใส

โครงสร้างของพอลิเมอร์แบบสัมฐานจะมีความโปร่งใสสูง เมื่อนำมาเตรียมพอลิเมอร์ – คินเนนไวนาโนคอมโพสิต สมบัติความโปร่งใสไม่ควรเปลี่ยนแปลงไป เพราะคินเนนไวนอนท์ไมริล โลโลนท์มีขนาดอนุภาคล็กมากในระดับนาโนเมตร เมื่อผสมเข้าไปภายในเนื้อพอลิเมอร์แบบสัมฐาน ถ้าโครงสร้างมีการจัดเรียงตัวแบบไม่โครงคอมโพสิต ชั้นคินเนนไวนยังคงจัดเรียงโครงสร้างเป็นชั้นๆ ซ้อนกัน เมื่อแสงส่องผ่านตัวอย่างจะมีการกระเจิงของแสงเกิดขึ้นทำให้ความโปร่งใสของวัสดุลดลง วัสดุประเภทนี้ยังคงมองทะลุได้แต่ความโปร่งใสไม่เหมือนเดิม เรียกว่าเปลี่ยนแปลงแบบนี้ว่า โปร่งแสง (translucent) แต่ถ้าชั้นคินเนนไวนจัดเรียงโครงสร้างแบบเอกโพลิเอชั้น ชั้นคินเนนไวนสามารถกระจายทั่วเนื้อพอลิเมอร์ เมื่อแสงส่องผ่านตัวอย่างชั้นคินเนนไวนไม่มีการขัด光แสงและไม่เกิดการกระเจิงของแสง วัสดุจึงมีสมบัติความโปร่งใสเหมือนเดิม เรียกว่าเปลี่ยนแปลงแบบนี้ว่า โปร่งใส (transparent) แต่ถ้าแสงผ่านวัสดุเกิดขึ้นได้น้อยมาก โดยแสงที่ตกกระทบอาจถูกดูดซึมหรือสะท้อนที่ผิวน้ำของวัสดุ เรียกว่าเปลี่ยนแปลงแบบนี้ว่า ทึบแสง (opaque)

2.9 การตรวจสอบเอกสาร

2.9.1 งานวิจัยที่เกี่ยวข้องกับการสังเคราะห์ดินเหนี่ยวน้ำปรับสภาพ

Arroyo *et al.*, 2003 ศึกษาการสังเคราะห์ดินเหนี่ยวน้ำปรับสภาพจากดินเหนี่ยวน้ำที่โมริโลไนท์ที่มีค่า CEC เท่ากับ 70 meq/100 g ปรับสภาพดินเหนี่ยวน้ำด้วยสารลดแรงตึงผิวนิดออกตะเกกซิลเออมีน โดยนำโซเดียม – มอนท์โมริโลไนท์ปริมาณ 20 g ละลายในน้ำกลั่นร้อน 1,000 ml ที่อุณหภูมิ 80°C เตรียมสารละลายสารลดแรงตึงผิวจากออกตะเกกซิลเออมีน (7.7 g, 28 mmol) และกรดไฮโดรคลอริกเข้มข้น (2.9 ml) ละลายในน้ำกลั่นร้อนปริมาตร 500 ml ที่อุณหภูมิ 80°C นำสารละลายผสมกัน โดยการตกลดเวลา nano 50 min กรองและล้างผงดินเหนี่ยวน้ำด้วยน้ำกลั่นร้อน 80°C ปริมาตร 500 ml จำนวน 3 ครั้ง อบดินเหนี่ยวน้ำปรับสภาพในตู้อบสุญญากาศที่ 80°C นาน 24 h ได้ดินเหนี่ยวน้ำปรับสภาพกลุ่มออกตะเกกซิลเออมีน ตรวจสอบอิทธิพลของสารลดแรงตึงผิวที่มีผลต่อโครงสร้างชั้นดินเหนี่ยวน้ำจากเครื่อง XRD พบร่วมระหว่างชั้นของดินเหนี่ยวน้ำที่ไม่มีการปรับสภาพมีค่าเท่ากับ 12 Å เมื่อมีการปรับสภาพดินเหนี่ยวน้ำด้วยสารลดแรงตึงผิวออกตะเกกซิลเออมีน ทำให้ระยะห่างระหว่างชั้นเพิ่มขึ้นมีค่าเท่ากับ 18.3 Å

Ding *et al.*, 2004 ศึกษาการสังเคราะห์ดินเหนี่ยวน้ำปรับสภาพจากโซเดียม-มอนท์โมริโลไนท์ที่มีค่า CEC เท่ากับ 100 meq/100 g ปรับสภาพดินเหนี่ยวน้ำด้วยสารลดแรงตึงผิวนิดซีทิลไดเมทิลแอกโนเมเนียม บอร์ไนด์ โดยนำโซเดียม – มอนท์โมริโลไนท์ปริมาณ 40 g ละลายในน้ำกลั่น 1,000 ml ให้ความร้อนที่ 80°C การตกลดเวลา เตรียมสารละลายสารลดแรงตึงผิวจากซีทิลไดเมทิลแอกโนเมเนียม บอร์ไนด์ปริมาณ 16 g ละลายในน้ำกลั่น 100 g นำสารละลายทึบส่องผสมกัน แล้วกวนต่อเนื่องนาน 8 h ตกตะกอนดินเหนี่ยวน้ำปรับสภาพก่อนล้างด้วยน้ำกลั่นร้อนจำนวน 3 ครั้ง อบดินเหนี่ยวน้ำปรับสภาพในตู้อบสุญญากาศที่อุณหภูมิ 100°C นาน 24 h ได้ดินเหนี่ยวน้ำปรับสภาพมอนท์โมริโลไนท์ที่มีหมุนสสารลดแรงตึงผิวซีทิลไดเมทิลแอกโนเมเนียม บอร์ไนด์ ตรวจสอบอิทธิพลของสารลดแรงตึงผิวที่มีผลต่อโครงสร้างชั้นดินเหนี่ยวน้ำจากเครื่อง XRD พบร่วมของค่าการกระเจิงของรังสีเอกซ์คลอสต์ที่มีค่าเท่ากับ 6.94° เมื่อมีการปรับสภาพดินเหนี่ยวน้ำด้วยสารลดแรงตึงผิวซีทิลไดเมทิลแอกโนเมเนียม บอร์ไนด์ ทำให้มุมของค่าการกระเจิงของรังสีเอกซ์คลอสต์ลดลงมีค่าเท่ากับ 3.62° ระยะห่างระหว่างชั้นดินเหนี่ยวน้ำเพิ่มสูงขึ้น

Liang *et al.*, 2004 ศึกษาการสังเคราะห์ดินเหนี่ยวน้ำปรับสภาพจากมอนท์โมริโลไนท์ที่มีค่า CEC เท่ากับ 100 meq/100 g ปรับสภาพดินเหนี่ยวน้ำด้วยสารลดแรงตึงผิวนิดเซกซ์เดกซิลเออมีน (hexadecylamine, OM-16) โดยนำ OM-16C ปริมาณ 5 g ละลายในกรดไฮโดรคลอริกเข้มข้น 37% ปริมาตร 5 ml และเติมน้ำกลั่น 50 ml พร้อมให้ความร้อนที่ 80°C นาน 5 min เตรียมสาร

ละลายดินเหนี่ยวโซเดียม - มอนท์莫ริลโลไนท์ปริมาณ 12.5 g ละลายในน้ำกลั่นปริมาตร 400 ml นำสารละลายทึ้งสองผสมกันพร้อมกับการตกลดเวลานาน 1 h ที่ 80°C กรองและถ่ายน้ำกลั่นร้อน (80°C) หลายๆครั้ง เพื่อกำจัดเกลือแอมโมเนียมที่อยู่ในรูปคลอไรด์ไอออน อบผงดินเหนี่ยวปรับสภาพในตู้อบสุญญากาศที่อุณหภูมิ 80°C นาน 24 h ได้ดินเหนี่ยวปรับสภาพที่มีสารลดแรงตึงผิว เอกซ์เดกซิลเอมีนเป็นองค์ประกอบ ตรวจสอบอิทธิพลของสารลดแรงตึงผิวที่มีผลต่อโครงสร้างชั้นดินเหนี่ยวจากเครื่อง XRD พบว่าระยะห่างระหว่างชั้นของดินเหนี่ยวที่ไม่มีการปรับสภาพมีค่าเท่ากับ 12.4 Å เมื่อมีการปรับสภาพดินเหนี่ยวด้วยสารลดแรงตึงผิวเอกซ์เดกซิลเอมีนทำให้ระยะห่างระหว่างชั้นเพิ่มขึ้นเมื่อเทียบกับ 20.7 Å

Liu et al., 2004 ศึกษาการสังเคราะห์ดินเหนี่ยวปรับสภาพจากมอนท์莫ริลโลไนท์ที่มีค่า CEC เท่ากับ 120 meq/100 g ปรับสภาพดินเหนี่ยวด้วยสารลดแรงตึงผิวออกตะเกกซิลเอมีนโดยนำออกตะเกกซิลเอมีนปริมาณ 5.55 g ละลายในกรดไฮโดรคลอริกเข้มข้น 0.3 mol/l ปริมาตร 100 ml เตรียมสารละลายโซเดียม - มอนท์莫ริลโลไนท์ปริมาณ 20 g ละลายในน้ำกลั่นปริมาตร 1,000 ml นำสารละลายทึ้งสองผสมกันโดยการตกลดเวลานาน 1 h ให้ความร้อนที่ 80°C ตกลงก่อนดินเหนี่ยวปรับสภาพ กรองและถ่ายน้ำกลั่นร้อนหลายๆครั้งเพื่อกำจัดคลอไรด์ไอออน ตรวจสอบการกำจัดคลอไรด์ด้วยสารละลาย AgNO_3 ที่มีความเข้มข้น 0.1 N อบดินเหนี่ยวปรับสภาพในตู้อบสุญญากาศที่ 80°C นาน 24 h ได้ดินเหนี่ยวปรับสภาพมอนท์莫ริลโลไนท์ที่มีสารลดแรงตึงผิวชนิดออกตะเกกซิลเอมีนเป็นองค์ประกอบ

Liu et al., 2004 ศึกษาการสังเคราะห์ดินเหนี่ยวปรับสภาพจากโซเดียม - มอนท์莫ริลโลไนท์ที่มีค่า CEC เท่ากับ 120 meq/100 g ปรับสภาพดินเหนี่ยวด้วยสารลดแรงตึงผิวชนิดໂಡಡეกซิลเอมีน โดยนำໂಡಡეกซิลเอมีนปริมาณ 5.55 g ละลายในกรดไฮโดรคลอริกเข้มข้น 0.3 mol/l ปริมาตร 100 ml เตรียมสารละลายโซเดียม - มอนท์莫ริลโลไนท์ปริมาณ 20 g ละลายในน้ำกลั่น 1,000 ml นำสารละลายทึ้งสองผสมกันพร้อมกับการตกลดเวลานาน 1 h ให้ความร้อนที่ 80°C ตกลงก่อนดินเหนี่ยวปรับสภาพ กรองและถ่ายน้ำกลั่นร้อนหลายๆครั้ง เพื่อกำจัดคลอไรด์ไอออน ตรวจสอบการกำจัดคลอไรด์ด้วยสารละลาย AgNO_3 ที่มีความเข้มข้น 0.1N อบดินเหนี่ยวปรับสภาพในตู้อบสุญญากาศที่ 80°C นาน 24 h ได้ดินเหนี่ยวปรับสภาพมอนท์莫ริลโลไนท์ที่มีสารลดแรงตึงผิวชนิดໂಡಡეกซิลเอมีนเป็นองค์ประกอบ

Sharif et al., 2004 ศึกษาการสังเคราะห์ดินเหนี่ยวปรับสภาพจากดินเหนี่ยวมอนท์莫ริลโลไนท์ที่มีค่า CEC เท่ากับ 119 meq/100 g ทำการปรับสภาพดินเหนี่ยวด้วยสารลดแรงตึงผิวชนิดเดกซิลเอมีนและออกตะเกกซิลเอมีน โดยนำดินเหนี่ยวมอนท์莫ริลโลไนท์ปริมาณ 20 g ละลายในน้ำกลั่นปริมาตร 800 ml และให้ความร้อนที่ 80°C และเตรียมสารละลายสารลดแรงตึงผิว

โดยเดกซิลแอมโมเนียมคลอไรด์ที่มีความเข้มข้น 50 mmol (เตรียมจากการผสมระหว่าง 50 mmol ของเดกซิลเอมีนกับ 50 mmol ของกรดไฮโดรคลอริกเข้มข้นในน้ำกลั่น 200 ml) นำสารละลายทั้งสองผสมกัน ตกละกอนดินเหนียวปรับสภาพ กรองและล้างด้วยน้ำร้อนเพื่อกำจัดคลอไรด์ไอออน (Cl^-) ตรวจสอบการกำจัดคลอไรด์ด้วยสารละลาย AgNO_3 ที่มีความเข้มข้น 1 N อบดินเหนียวปรับสภาพในตู้อบสูญญากาศ ที่อุณหภูมิ 60°C นาน 24 h ได้ดินเหนียวปรับสภาพที่มีสารลดแรงตึงผิวชนิดเดกซิลเอมีนเป็นองค์ประกอบ และในการนี้ออกตะเดกซิลเอมีนทำการเตรียมในทำนองเดียวกัน

Sur และคณะ (2001) ศึกษาการสังเคราะห์ดินเหนียวปรับสภาพจากดินเหนียวชนิดมอนท์โมริลโลไนท์ที่มีค่า CEC เท่ากับ 98 meq/100 g ปรับสภาพดินเหนียวด้วยสารลดแรงตึงผิวนิดเดกซิลแอมโมเนียม โบร์ไมด์ สังเคราะห์ดินเหนียวปรับสภาพโดยนำเดกซิลแอมโมเนียม โบร์ไมด์ เข้มข้น 0.05 M ละลายในตัวทำละลายผสมระหว่างอุทานอลกันน้ำ ในอัตราส่วน 1:1 ปริมาตร 500 ml และเติมดินเหนียวชนิดมอนท์โมริลโลไนท์ลงไปปริมาณ 2 g พร้อมให้ความร้อนที่ 80°C นาน 24 h หลังจากนั้นตกละกอนพงดินเหนียว กรองและล้างพงดินเหนียวด้วยสารละลายผสมระหว่างอุทานอลกันน้ำหลายครั้ง เพื่อกำจัด โบร์ไมด์ไอออน (Br^-) ตรวจสอบการกำจัด โบร์ไมด์ไอออนด้วยสารละลาย AgNO_3 ที่มีความเข้มข้น 0.1 N นำพงดินเหนียวปรับสภาพอบในตู้อบสูญญากาศที่อุณหภูมิ 80°C นาน 24 h จะได้ดินเหนียวปรับสภาพที่มีสารลดแรงตึงผิวนิดเดกซิลแอมโมเนียม โบร์ไมด์เป็นองค์ประกอบภายในระหว่างชั้นของดินเหนียว ตรวจสอบอิทธิพลของสารลดแรงตึงผิวที่มีผลต่อโครงสร้างชั้นดินเหนียวจากเครื่อง XRD พบว่าระยะห่างระหว่างชั้นของดินเหนียวที่ไม่มีการปรับสภาพมีค่าเท่ากับ 12.3 Å เมื่อมีการปรับสภาพดินเหนียวด้วยสารลดแรงตึงผิวเดกซิลแอมโมเนียม โบร์ไมด์ ทำให้ระยะห่างระหว่างชั้นเพิ่มขึ้นเป็นค่าเท่ากับ 18.3 Å

Xiong *et al.*, 2004 ศึกษาการสังเคราะห์ดินเหนียวปรับสภาพจากมอนท์โมริลโลไนท์ที่มีค่า CEC เท่ากับ 110 meq/100 g ปรับสภาพดินเหนียวด้วยสารลดแรงตึงผิวเมทิลลีนบิสออร์โท - คลอโรอะนีลีน โดยนำมอนท์โมริลโลไนท์ปริมาณ 10 g ละลายในน้ำกลั่น 200 g ภายใต้การกวนตลอดเวลา ปรับ pH ให้อยู่ในช่วง 3 - 4 ด้วยกรดไฮโดรคลอริกเข้มข้น เตรียมสารละลายสารลดแรงตึงผิวโดยนำเมทิลลีนบิสออร์โทคลอโรอะนีลีนปริมาณ 5 g ละลายในตัวทำละลายผสมระหว่างกรดไฮโดรคลอริกกับอะเซติโนน (2 : 3 โดยปริมาตร) ภายใต้การกวนตลอดเวลา ด้วยตัวกวนแม่เหล็ก นำสารละลายทั้งสองผสมกันพร้อมกวนตลอดเวลานาน 12 h ที่อุณหภูมิห้อง และให้ความร้อนด้วยอุณหภูมิ 80°C นาน 4 h ตกละกอนดินเหนียวปรับสภาพ กรองและล้างด้วยน้ำกลั่นร้อนหลายครั้ง เพื่อกำจัด AgCl (ตรวจสอบด้วยการไทเรตกับสารละลาย AgNO_3 เข้มข้น 0.1 M) อบพงดินเหนียวปรับสภาพในตู้อบสูญญากาศที่อุณหภูมิ 80°C นาน 24 h ตรวจสอบอิทธิพลของสารลดแรงตึงผิวที่มีผลต่อโครงสร้างชั้นดินเหนียวจากเครื่อง XRD พบว่าระยะห่างระหว่าง

ชั้นของดินเหนี่ยวน้ำที่ไม่มีการปรับสภาพมีค่าเท่ากับ 12.8 \AA เมื่อมีการปรับสภาพดินเหนี่ยวน้ำด้วยสารลดแรงตึงผิวเมทิลลีนบิสออร์โทอ - คลอโรอะโนลีน ทำให้ระยะห่างระหว่างชั้นเพิ่มขึ้นมีค่าเท่ากับ 22.1 \AA

Zhang *et al.*, 2004 ศึกษาการสังเคราะห์ดินเหนี่ยวน้ำปรับสภาพจากมอนท์莫ริลโลในพื้นที่มีค่า CEC เท่ากับ $100 \text{ meq}/100 \text{ g}$ สังเคราะห์ด้วยสารลดแรงตึงผิวซีทิลไครเมททิลแอมโมเนียมไบร์ไมค์ โดยนำมอนท์莫ริลโลในที่เติมในน้ำกลั่นพร้อมกับการลดเวลาเพื่อให้มอนท์莫ริลโลในที่ละลายในน้ำกลั่น และเตรียมซีทิลไครเมททิลแอมโมเนียมไบร์ไมค์ละลายในกรดไฮโดรคลอโริกเพิ่มขึ้น นำสารละลายที่ส่งผลกระทบกับพร้อมกับการลดเวลานาน 6 h ตกลงก่อนดินเหนี่ยวน้ำปรับสภาพ กรองและล้างด้วยน้ำกลั่นร้อนหลายครั้ง เพื่อกำจัดไบร์ไมค์ไอออน (Br^-) ตรวจสอบการกำจัดไบร์ไมค์ด้วยสารละลาย AgNO_3 ที่มีความเข้มข้น 1 N อบดินเหนี่ยวน้ำปรับสภาพในตู้อบสูญญากาศที่อุณหภูมิ 80°C นาน 24 h ตรวจสอบอิทธิพลของสารลดแรงตึงผิวที่มีผลต่อโครงสร้างชั้นดินเหนี่ยวน้ำจากเครื่อง XRD พบร่วงระหว่างชั้นของดินเหนี่ยวน้ำที่ไม่มีการปรับสภาพ มีค่าเท่ากับ 12.0 \AA เมื่อมีการปรับสภาพดินเหนี่ยวน้ำด้วยสารลดแรงตึงผิวซีทิลไครเมททิลแอมโมเนียมไบร์ไมค์ ทำให้ระยะห่างระหว่างชั้นเพิ่มขึ้นมีค่าเท่ากับ 16.2 \AA

2.9.2 งานวิจัยที่เกี่ยวข้องกับการเตรียมพอลิเมอร์ – ดินเหนี่ยวนานาโนคอมโพสิตด้วยเทคนิคสารละลาย

2.9.2.1 พอลิชัลโฟน

Sur *et al.*, 2001 ศึกษาการสังเคราะห์ดินเหนี่ยวน้ำปรับสภาพและการเตรียม พอลิชัลโฟน - ดินเหนี่ยวนานาโนคอมโพสิต พร้อมทั้งศึกษาโครงสร้างของชั้นดินเหนี่ยวน้ำ สมบัติเชิงกลและสมบัติทางความร้อน โดยเตรียมพอลิชัลโฟน - ดินเหนี่ยวนานาโนคอมโพสิตด้วยเทคนิคสารละลายใช้ตัวทำละลาย DMAc พอลิชัลโฟนชนิด Udel[®] P-1700 และดินเหนี่ยวน้ำมอนท์莫ริลโลในที่มีค่า CEC เท่ากับ $98 \text{ meq}/100 \text{ g}$ นำดินเหนี่ยวน้ำมาปรับสภาพด้วยสารลดแรงตึงผิวชนิดไครเมททิลเอมีนและแปรสัดส่วนดินเหนี่ยวน้ำปรับสภาพในพอลิชัลโฟนปริมาณ $1 - 10 \text{ wt\%}$ เมื่อตรวจสอบโครงสร้างของชั้นดินเหนี่ยวน้ำที่ไม่มีการปรับสภาพ พบร่วง มีค่าระยะห่างระหว่างชั้นเท่ากับ 12.3 \AA เมื่อเดิมสารลดแรงตึงผิวจะทำให้ค่าระยะห่างระหว่างชั้นของดินเหนี่ยวน้ำเพิ่มสูงขึ้นเป็น 18.3 \AA เมื่อตรวจสอบโครงสร้างของชั้นดินเหนี่ยวน้ำปรับสภาพในเนื้อพอลิชัลโฟนด้วยเครื่อง XRD และ TEM พบร่วง การเติมดินเหนี่ยวน้ำปรับสภาพในปริมาณ $1 - 5 \text{ wt\%}$ ชั้นดินเหนี่ยวน้ำมีโครงสร้างแบบเอกโซไฟลิโอชัน เมื่อวิเคราะห์สมบัติทางความร้อนด้วยเครื่องเทอร์โมgravimetric พบว่า การเติมดินเหนี่ยวน้ำปรับสภาพ

ในปริมาณ 5 wt% ทำให้ความเสถียรทางความร้อนเพิ่มสูงขึ้น เพราะชั้นดินเหนียวขัดขวางการแพร่ผ่านของก๊าซออกซิเจน การเผาไหม้มีจึงเกิดได้ช้า เมื่อทดสอบสมบัติเชิงกล พบว่า การเติมดินเหนียวปรับสภาพในปริมาณ 3 wt% จะมีค่าความทนต่อแรงดึงเพิ่มขึ้นประมาณ 36.91% และค่ามอดุลัสเพิ่มขึ้นประมาณ 32.5 %

Yeh et al., 2003 ศึกษาอิทธิพลของดินเหนียวปรับสภาพต่อสมบัติความต้านทานการกัดกร่อน สมบัติเชิงกล และสมบัติทางความร้อนของพอลิชัลโ芬 - ดินเหนียวนาโนคอมโพสิต เลือกใช้พอลิชัลโ芬ชนิด Udel[®] P-3500 และใช้ดินเหนียวชนิดมอนท์莫ริลโลในที่มีค่า CEC เท่ากับ 114 meq/100 g เตรียมพอลิชัลโ芬 - ดินเหนียวนาโนคอมโพสิตด้วยเทคนิคสารละลาย โดยใช้ตัวทำละลาย NMP และใช้สารลดแรงตึงผิวชนิดโดยเดกซิลเอมีนในการปรับสภาพดินเหนียว ประสัดส่วนดินเหนียวปรับสภาพปริมาณ 1 - 10 wt% ทำการขึ้นรูปเป็นแผ่นเมมเบรน เมื่อตรวจสอบหมู่ฟังก์ชันของพอลิชัลโ芬 - ดินเหนียวนาโนคอมโพสิตด้วยเครื่อง FTIR พบว่า เมื่อเพิ่มปริมาณดินเหนียวปรับสภาพในปริมาณมากขึ้น สเปกตรัมของหมู่ฟังก์ชันจะมีความเข้มเพิ่มขึ้น เมื่อตรวจสอบโครงสร้างของชั้นดินเหนียวด้วยเครื่องตรวจสอบการกระเจิงของรังสีเอกซ์มุมกว้าง (wide angle X-Ray diffraction, WAXD) พบว่า มอนท์莫ริลโลในที่มี d - spacing เท่ากับ 1.76 nm และเมื่อเติมมอนท์莫ริลโลในที่ปรับสภาพในพอลิชัลโ芬 โครงสร้างของชั้นดินเหนียวเป็นแบบเอกโซไฟลิโอชันไม่ปรากฏค่า d - spacing แต่เมื่อเติมมอนท์莫ริลโลในที่ปรับสภาพในปริมาณมากขึ้นเป็น 10 wt% โครงสร้างของชั้นดินเหนียวเป็นแบบอินเตอร์คาร์เรเลชัน ค่า d - spacing เพิ่มขึ้นเป็น 21.5 Å เกิดการขยายระยะห่างระหว่างชั้นเพิ่มขึ้น เมื่อยืนยันโครงสร้างของชั้นดินเหนียวด้วยเครื่อง TEM ของ PSF-MMT-10 wt% ชั้นดินเหนียวมีการขยายระยะห่างระหว่างชั้นเพิ่มขึ้น เมื่อเติมมอนท์莫ริลโลในที่ปรับสภาพในปริมาณมากขึ้นการแพร่ผ่านของก๊าซ O₂ และ N₂ ผ่านได้ยากขึ้น เพราะชั้นดินเหนียวขัดขวางการแพร่ผ่านของก๊าซ ทดสอบการกักกันน้ำ พบว่า เมมเบรนมีการกักกันน้ำได้ดีขึ้นทำให้ค่าฟลักซ์ลดลง ค่ามอดุลัสจากการทดสอบด้วยเครื่อง DMTA แปรผันตรงกับปริมาณ MMT ปรับสภาพที่เติมในพอลิชัลโ芬 และการเติมมอนท์莫ริลโลในที่ปรับสภาพในปริมาณมากขึ้นทำให้การส่องผ่านของแสงในเมมเบรนลดต่ำลง ทดสอบการกัดกร่อนโดยเคลือบพอลิชัลโ芬 - ดินเหนียวนาโนคอมโพสิตลงบนแผ่นเหล็ก พบว่า การเติมมอนท์莫ริลโลในที่ปรับสภาพในปริมาณ 1 wt% ทำให้ค่าความต้านทานการกัดกร่อนและศักย์ไฟฟ้าของการกัดกร่อนเพิ่มสูงขึ้น

2.9.2.2 พอลิอิมมีด

Agag et al., 2001 ศึกษาสมบัติเชิงกลและสมบัติทางความร้อนพอลิ อิมมีด - ดินเหนียวนาโนคอมโพสิต โดยเลือกใช้ดินเหนียวชนิดโซเดียมมอนท์莫ริลโลในที่มีค่า CEC เท่ากับ

119 meq/100 g และเลือกใช้สารลดแรงตึงผิวนิคแอมโมเนียมคลอไรด์ เตรียมด้วยเทคนิคพอลิเมอร์ไซซ์มอนอเมอร์ โดยเลือกใช้ตัวทำละลายไดเมทิลอะซีตอไมด์ และปรับสัดส่วนมอนท์莫ริลโลไนท์ที่ทำการปรับสภาพในปริมาณ 1 – 10 wt% เมื่อตรวจสอบโครงสร้างของชั้นดินเหนียวมอนท์莫ริลโลไนท์ที่ปรับสภาพภายในพอลิอิมมิคด้วยเครื่อง XRD การเติมสารลดแรงตึงผิวทำให้ค่าระยะห่างระหว่างชั้นของดินเหนียวเพิ่มสูงขึ้นจาก 12.4 Å เป็น 18.3 Å และเมื่อเติมดินเหนียวมอนท์莫ริลโลไนท์ปรับสภาพในปริมาณ 1 wt% ในพอลิอิมมิคชั้นดินเหนียวมอนท์莫ริลโลไนท์ปรับสภาพมีโครงสร้างแบบเอกโพลิเอชัน เมื่อเติมดินเหนียวมอนท์莫ริลโลไนท์ปรับสภาพในปริมาณมากขึ้นเท่ากับ 6 wt% ชั้นดินเหนียวมีค่าระยะห่างระหว่างชั้นต่ำลงเท่ากับ 12.9 Å มีโครงสร้างแบบไมโครคอมโพสิต ทดสอบสมบัติทางความร้อน พบว่า การเติมดินเหนียวมอนท์莫ริลโลไนท์ปรับสภาพในปริมาณมากขึ้นเท่ากับ 10 wt% จะทำให้อุณหภูมิกลางสหัสหារะซิชันเพิ่มสูงขึ้น และการเติมมอนท์莫ริลโลไนท์ปรับสภาพในปริมาณ 1 wt% จะมีค่ามอคูลัลส์ ค่าความทนต่อแรงดึงและความเสถียรทางความร้อนสูง

Liang *et al.*, 2004 ศึกษาพอลิอิมมิค – ดินเหนียวนาโนคอมโพสิต เตรียมแบบพอลิเมอร์ไซซ์มอนอเมอร์ โดยทำการสังเคราะห์จากพอลิอิมมิคและดินเหนียวชนิดมอนท์莫ริลโลไนท์ที่มีค่า CEC เท่ากับ 100 meq/100 g ปรับสภาพดินเหนียวด้วยสารลดแรงตึงผิวเชิงเดาซิลเอมีน และปรับปริมาณมอนท์莫ริลโลไนท์ปรับสภาพในปริมาณ 0.5 - 3 wt% พบว่า การเติมสารลดแรงตึงผิวทำให้ d - spacing ของดินเหนียวเพิ่มสูงขึ้นจาก 12.4 Å เป็น 20.7 Å เมื่อตรวจสอบโครงสร้างของชั้นดินเหนียวด้วยเครื่อง XRD และ TEM พบว่า การเติม MMT ปรับสภาพในปริมาณ 0.5 - 3 wt% โครงสร้างของชั้นดินเหนียวในพอลิอิมมิคเป็นแบบเอกโพลิเอชัน และการเติม MMT ปรับสภาพจะทำให้สมบัติทางความร้อนเพิ่มสูงขึ้น ความเสถียรทางความร้อนเมื่อตรวจสอบด้วย TGA อุณหภูมิขณะน้ำหนักหายไป 5 - 10% เพิ่มสูงขึ้น การกระจายตัวทางความร้อนลดลง ทดสอบสมบัติเชิงกล พบว่า ค่าความทนต่อแรงดึงและความต้านทานต่อแรงดึงและค่ามอคูลัลส์แปรผันตรงกับการเติมปริมาณดินเหนียวปรับสภาพ ค่าความทนต่อแรงดึงเพิ่มขึ้นประมาณ 47.6%

Zhang *et al.*, 2004 ศึกษาพอลิอิมมิค - ดินเหนียวนาโนคอมโพสิต เลือกใช้ดินเหนียวชนิดมอนท์莫ริลโลไนท์ที่มีค่า CEC เท่ากับ 100 meq/100 g ปรับสภาพดินเหนียวด้วยสารลดแรงตึงผิวชนิดเซทิลไดเมทิลแอมโมเนียมบอร์ไมด์ ทำการเตรียมด้วยเทคนิคสารละลาย เลือกใช้ตัวทำละลาย DMAc และปรับปริมาณมอนท์莫ริลโลไนท์ปรับสภาพ 1 - 20 wt% เมื่อตรวจสอบโครงสร้างของดินเหนียว พบว่า การเติมสารลดแรงตึงผิวทำให้ d - spacing ของดินเหนียวเพิ่มสูงขึ้นจาก 12.6 Å เป็น 19.9 Å เมื่อตรวจสอบโครงสร้างของชั้นดินเหนียวด้วยเครื่อง XRD พบว่า การเติมดินเหนียวในเติมในปริมาณ 1 wt% ชั้นดินเหนียวมีโครงสร้างแบบเอกโพลิเอชัน เมื่อเติมมอนท์莫ริลโลไนท์

ปรับสภาพในปริมาณ 3 - 10 wt% ขั้นดินเหนียวมีโครงสร้างแบบอินเตอร์คาร์บอน เลชัน ทดสอบสมบัติของพอลิอิมเม็ด - ดินเหนียวนาโนคอมโพสิต พบร้า เมื่อเติมมอนท์โมริโลไนท์ปรับสภาพในปริมาณ 1 wt% จะมีค่าความหนาแน่นต่อแรงดึงเพิ่มสูงสุดจาก 120 MPa เป็น 210 MPa ส่วนค่ามอดุลัสแปรผันตรงกับปริมาณการเติม MMT ปรับสภาพ การทดสอบความโปร่งใสพบว่า การเติมมอนท์โมริโลไนท์ปรับสภาพในปริมาณ 1 - 5 wt% มีความโปร่งใสสามารถมองทะลุผ่านได้ แต่มีเพิ่มปริมาณมอนท์โมริโลไนท์มากขึ้นจะทำให้มีความชุ่นเพิ่มขึ้น

2.9.2.3 พอลิสไตรีน

Aphiwantrakul *et al.*, 2005 ศึกษาการเตรียมพอลิสไตรีน - ดินเหนียวนาโนคอมโพสิตด้วยเทคนิคพอลิเมอร์ไซซ์มอนอเมอร์ ศึกษาการแปรรูปของดินเหนียวมอนท์โมริโลไนท์โดยเลือกดินเหนียวมอนท์โมริโลไนท์ชนิดไวโอลิง (มีค่า CEC 97 meq/100 g) และดินเหนียวมอนท์โมริโลไนท์ชนิดเบนโทไนท์ (bentonite, BNH) (มีค่า CEC 131 meq/100g) และใช้สารลดแรงตึงผิวออกชาเขียว ไดเมทิลอะมีน (octadecyl amine, ODA) ให้สัญลักษณ์ดินเหนียวปรับสภาพคือ ODA-SW_y และ ODA-BNH ตามลำดับ พบร้า เมื่อตรวจสอบค่าระยะห่างระหว่างชั้นจากเครื่อง XRD ค่าระยะห่างระหว่างชั้นของ ODA-BNH มีค่าเท่ากับ 35.7 Å ส่วนค่าระยะห่างระหว่างชั้นของ ODA-SW_y เท่ากับ 17.7 Å และเมื่อตรวจสอบระยะห่างระหว่างชั้นของพอลิสไตรีน - ดินเหนียวนาโนคอมโพสิตที่เติมดินเหนียวชนิด ODA-SW_y ไม่สามารถหาระยะห่างระหว่างชั้นได โครงสร้างเป็นแบบเอกโพลิเอชัน พอลิสไตรีน - ดินเหนียวนาโนคอมโพสิตที่เติมดินเหนียวชนิด ODA-BNH มีระยะห่างระหว่างชั้นเพิ่มขึ้นเท่ากับ 35.8 Å โครงสร้างเป็นแบบอินเตอร์คาร์บอน เลชัน

Chen *et al.*, 2001 ศึกษาการเตรียมพอลิสไตรีน - ดินเหนียวนาโนคอมโพสิต ระยะห่างพอลิสไตรีนและไซเดียมมอนท์โมริโลไนท์ที่มีค่า CEC เท่ากับ 92 meq/100 g ปรับสภาพดินเหนียวด้วยสารลดแรงตึงผิวชนิดซีทิลไครเมทิลแอมโมเนียมไบร์ไมค์ แปรสัดส่วนมอนท์โมริโลไนท์ปรับสภาพในปริมาณ 5 wt% ทำการสังเคราะห์ด้วยเทคนิคพอลิเมอร์ไซซ์มอนอเมอร์ เมื่อศึกษาโครงสร้างของชั้นดินเหนียวพบว่า การเติมสารลดแรงตึงผิวทำให้ระยะห่างระหว่างชั้นของดินเหนียวเพิ่มสูงขึ้น นุ่มอย่างมากในการกระเจิงแสงเมื่อตกลงพลาสติกคล่อง เมื่อตรวจสอบโครงสร้างของชั้นดินเหนียวด้วยเครื่อง WAXD และ TEM พบร้า โครงสร้างของชั้นดินเหนียวเป็นแบบเอกโพลิเอชัน ไม่สามารถตรวจสอบค่า d-spacing ได เพราะชั้นดินเหนียวขยายออกจากกัน

Fu *et al.*, 2000 ศึกษาการเตรียมพอลิสไตรีน - ดินเหนียวนาโนคอมโพสิต ระยะห่างพอลิสไตรีนและดินเหนียวมอนท์โมริโลไนท์ที่มีค่า CEC เท่ากับ 90 meq/100 g เลือกใช้สารลดแรงตึงผิวชนิดไวนิลเบนซิลไดเมทิลคลอดีเกซิลแอมโมเนียมคลอไรด์ (vinylbenzyldimethyl dodecyl

ammonium chloride, VDAC) และแปรสัดส่วนดินเหนียวปรับสภาพในปริมาณ 7.6 wt% พบว่า การเติมสารลดแรงตึงผิวทำให้ d -spacing ของดินเหนียวเพิ่มสูงขึ้นจาก 9.9 Å เป็น 19.2 Å และเมื่อผสมในพอลิสไตรีนโครงสร้างของชั้นดินเหนียวเป็นแบบเอกโพลิเอชัน ไม่สามารถตรวจสอบ สอบค่าระยะห่างระหว่างชั้นได้ ศึกษาสมบัติทางความร้อนจากเครื่อง DMTA พบว่า เมื่อเติมดินเหนียวปรับสภาพจะทำให้อุณหภูมิกลางานซิชันเพิ่มขึ้นประมาณ 7.6% และเมื่อตรวจสอบจาก DMTA พบว่า การเติม VDAC-MMT ในปริมาณ 7.6% จะทำให้ค่ามอดุลัสเพิ่มสูงขึ้นจาก 3.5 GPa เป็น 5.5 GPa

Uthirakumar *et al.*, 2004 ศึกษาการเติมพอลิสไตรีน - ดินเหนียวนาโนคอมโพสิต โดยใช้เทคนิคการเติมแบบพอลิเมอร์ไฮซ์มอนเมอร์ ดินเหนียวมีค่า CEC เท่ากับ 119 meq/100 g ปรับสภาพดินเหนียวด้วยสารลดแรงตึงผิวนิดไตรบิวทิลแอมโมเนียมไบร์ามิค พบร้า ค่าระยะห่างระหว่างชั้นเพิ่มขึ้นจาก 12 Å เป็น 20.6 Å เติมการทดสอบโดยแปรปริมาณอนท์โมริโลaineที่เท่ากับ 1, 3 และ 5 wt% แทนด้วยอักษรย่อ PS/MMT-1, PS/MMT-3 และ PS/MMT-5 เมื่อตรวจสอบโครงสร้างของชั้นดินเหนียวด้วยเครื่อง XRD, TEM และ SEM พบว่า PS/MMT-1 และ PS/MMT-3 มีโครงสร้างของชั้นดินเหนียวแบบเอกโพลิเอชันและ PS/MMT-3 มีโครงสร้างของชั้นดินเหนียวแบบอินเตอร์คาร์เลชัน ส่วน PS/MMT-5 มีโครงสร้างของชั้นดินเหนียวแบบไมโครคอมโพสิทระยะห่างระหว่างชั้นเท่ากับ 14.2 Å ทำการตรวจสอบสมบัติทางความร้อนด้วยเครื่อง DSC และ TGA พบว่า PS/MMT-3 มีอุณหภูมิการเสื่อมลายสูง และอุณหภูมิกลางานซิชันเพิ่มสูงขึ้น ตรวจสอบน้ำหนักโมเลกุลจาก GPC พบว่า การกระจายของน้ำหนักโมเลกุลแคบลง

2.9.2.4 พอลิแอนนิลีน

Lee *et al.*, 2002 ศึกษาการเติมพอลิแอนนิลีน - ดินเหนียวนาโนคอมโพสิต เลือกใช้ดินเหนียวชนิดโซเดียมมอนท์โมริโลaineที่มีค่า CEC เท่ากับ 90 meq/100 g เติมการทดสอบแบบพอลิเมอร์ไฮซ์มอนเมอร์ โดยเลือกใช้ตัวทำละลายไอก្រคลอวิค และแปรปริมาณอนท์โมริโลaineที่ปรับสภาพ 25.3 wt% ความเข้มข้นของพอลิแอนนิลีนเท่ากับ 74.7 wt% เมื่อตรวจสอบโครงสร้างของชั้นดินเหนียวด้วยเครื่อง XRD พบว่า การเติมดินเหนียวปรับสภาพในพอลิแอนนิลีนทำให้ชั้นดินเหนียวมีโครงสร้างแบบอินเตอร์คาร์เลชัน เมื่อศึกษาสมบัติทางความร้อนจากเครื่อง TGA พบว่าความเสถียรทางความร้อนเพิ่มสูงขึ้นประมาณ 25°C เมื่อมีการเติมอนท์โมริโลaineที่ปรับสภาพในปริมาณ 3%

Yeh *et al.*, 2001 ศึกษาพอลิแอนนิลีน - ดินเหนียวนาโนคอมโพสิต โดยเลือกใช้ดินเหนียวชนิดโซเดียมมอนท์โมริโลaineที่มีค่า CEC เท่ากับ 122 meq/100 g ปรับสภาพดิน

เห็นีyawด้วยสารลดแรงตึงผิวโคคามาโน โอดิโพรพิลไอกอรอกซิลชัลแทน เตรียมแบบพอลิเมอร์ไรซ์มอนอเมอร์ เลือกใช้ตัวทำละลายไคเมทิลไพริลโคน และแปรสัดส่วนมอนท์โมริโลนท์ปรับสภาพจาก 0.25 - 3 wt% เมื่อตรวจสอบโครงสร้างของชั้นดินเห็นีyawด้วยเครื่อง XRD และ TEM พบว่าการเติมสารลดแรงตึงผิวทำให้ d -spacing ของดินเห็นีyawเพิ่มสูงขึ้นเป็น 22.6 Å และโครงสร้างของชั้นดินเห็นีyawมีโครงสร้างแบบเอกฟลิเอชัน เมื่อมีปริมาณของมอนท์โมริโลนท์มากขึ้นการแพร่ผ่านของแก๊ส N_2 , O_2 แพร่ผ่านได้ยากขึ้น เมื่อทดสอบความเสถียรทางความร้อนด้วย DMTA และ TGA พบว่า มีการเปลี่ยนแปลงความเสถียรทางความร้อนเพียงเล็กน้อย อุณหภูมิการเสื่อมสภาพไม่มีการเปลี่ยนแปลง แต่ดินเห็นีyawจะทำให้อุณหภูมิขณะเกิดผลึก (crystalline temperature, T_c) เพิ่มสูงขึ้น เมื่อตรวจสอบด้วย DSC เนื่องอนุภาคของดินเห็นีyawโดยโครงสร้างจัดเรียงตัวเป็นผลึกจึงเห็น่นำให้เกิดผลึกมากขึ้น

Yoshimoto *et al.*, 2004 ศึกษาการเตรียมพอลิแอนนิลีน - ดินเห็นียวนาโนคอมโพสิต โดยเลือกใช้ดินเห็นียวนิดโซเดียมมอนท์โมริโลนท์ที่มีค่า CEC เท่ากับ 115 meq/100 g ปรับสภาพดินเห็นีyawด้วยสารลดแรงตึงผิวแอนนิลีนคลอไรด์ เตรียมด้วยเทคนิคพอลิเมอร์ไรซ์มอนอเมอร์ โดยใช้ตัวทำละลายไอกอรอกลิอิกและแปรสัดส่วนมอนท์โมริโลนท์ปรับสภาพ เมื่อตรวจสอบโครงสร้างของชั้นดินเห็นีyawด้วย XRD และ TEM พบว่า การเติมสารลดแรงตึงผิวทำให้ d -spacing ของดินเห็นีyawเพิ่มสูงขึ้นจาก 14.7 Å เป็น 24.7 Å และเมื่อเติมดินเห็นีyawปรับสภาพในพอลิแอนนิลีนชั้นดินเห็นีyawมีโครงสร้างแบบอินเตอร์คาร์บอเนชันค่า d -spacing ลดลงเท่ากับ 12.5 Å และเมื่อทดสอบความเสถียรทางความร้อน การเติมมอนท์โมริโลนท์จะทำให้พอลิแอนนิลีน - ดินเห็นียวนาโนคอมโพสิตมีความเสถียรทางความร้อนเพิ่มสูงขึ้น และมีปริมาณเก้าที่เหลือหลังการเผาไหม้ในปริมาณมากขึ้น

2.9.2.5 พอลิยูรีเทน

Xiong *et al.*, 2004 ศึกษาพอลิยูรีเทน - ดินเห็นียวนาโนคอมโพสิต เลือกใช้ดินเห็นียวนิดมอนท์โมริโลนท์ที่มีค่า CEC เท่ากับ 110 meq/100 g ระยะห่างระหว่างชั้นเท่ากับ 12.8 Å เลือกใช้สารลดแรงตึงผิวซีทิลไตรเมทิลแอมโมเนียมบอร์ไมด์ในการปรับสภาพดินเห็นียว ระยะห่างระหว่างชั้นเพิ่มสูงขึ้นเป็น 15.1 Å ตรวจสอบโครงสร้างพอลิยูรีเทน - ดินเห็นียวนาโนคอมโพสิตด้วยเครื่อง XRD และ TEM พบว่า เมื่อเติมดินเห็นีyawปรับสภาพในปริมาณ 3 wt% ชั้นดินเห็นีyawมีโครงสร้างแบบอินเตอร์คาร์บอเนชัน ระยะห่างระหว่างชั้นเพิ่มสูงขึ้นเป็น 22.1 Å ทดสอบความเสถียรทางความร้อนพบว่า การเติมดินเห็นีyawปรับสภาพในปริมาณ 5 wt% มีความเสถียรทางความร้อนสูงขึ้น การเสื่อมสภาพเกิดได้ช้า เพราะอนุภาคดินเห็นีyawขัดขวางการเกิดการเผาไหม้

อุณหภูมิการเติมสลายเพิ่มสูงขึ้นประมาณ 15°C การเติมดินเหนียวปรับสภาพทำให้สมบัติเชิงกลเพิ่มสูงขึ้น เมื่อเติมดินเหนียวปรับสภาพในปริมาณ 5 wt% ค่าความทันต่อแรงดึงเพิ่มขึ้น 600% เมื่อเปรียบเทียบกับ PU เพราะเกิดอันตรกิริยาที่แข็งแรงระหว่างอนุภาคดินเหนียวและพอลิยูรีเทนโดยใช้พันธะ โคลาเลนต์ในการเกิดพันธะ

2.9.2.6 พอลิไวนิลคลอไรด์

Gong *et al.*, 2003 ศึกษาการเตรียมและสมบัติเชิงกลของพอลิไวนิลคลอไรด์ - ดินเหนียวนาโนคอมโพสิตด้วยเทคนิคพอลิเมอร์ไฮซ์มอนอเมอร์ เลือกใช้ดินเหนียวชนิดมอนท์โมริโลนิท์ และปรับสภาพดินเหนียวด้วยสารลดแรงตึงผิวนิดไดเมทิลไดโอดีคลิลแอมโมเนียมคลอไรด์ เมื่อปรับสภาพดินเหนียวระยะห่างระหว่างชั้นเพิ่มสูงขึ้นจาก 9.8 \AA เป็น 18.9 \AA แปรปริมาณมอนท์โมริโลนิท์ปรับสภาพในปริมาณ 1 - 5 wt% ตรวจสอบโครงสร้างของชั้นดินเหนียวจากเครื่อง XRD และ TEM พบว่า โครงสร้างของพอลิไวนิลคลอไรด์ - ดินเหนียวนาโนคอมโพสิตมีโครงสร้างแบบเอกโพลิเอชัน ชั้นดินเหนียวกระจายตัวได้ดีในเนื้อพอลิไวนิลคลอไรด์ และเมื่อตรวจสอบสมบัติเชิงกลของพอลิไวนิลคลอไรด์ - ดินเหนียวนาโนคอมโพสิตที่เติมดินเหนียวปรับสภาพในปริมาณ 5 wt% จะมีค่าความทันต่อแรงดึง ค่าระยะยืด ณ จุดขาด ค่ามอคุลัส และความต้านทานต่อแรงกระแทกสูงสุด

2.9.3 งานวิจัยที่เกี่ยวข้องกับการเตรียมพอลิเมอร์ – ดินเหนียวนาโนคอมโพสิตโดยเทคนิคหลอม โดยใช้ความร้อน

2.9.3.1 พอลิไพรพิลีน

Ding *et al.*, 2004 ศึกษาการเตรียมพอลิไพรพิลีน - ดินเหนียวนาโนคอมโพสิตเตรียมโดยเพิ่มข้าวของพอลิไพรพิลีนด้วยมาลิกอิกแอนไฮไดรด์เพื่อใช้เป็นตัวประสาน โดยเติมในปริมาณน้อยมากเพื่อให้สมบัติของพอลิไพรพิลีนยังคงเดิม เตรียมการผสมด้วยเทคนิคหลอมโดยใช้ความร้อน แปรปริมาณดินเหนียวปรับสภาพในสัดส่วน 1, 2, 4 และ 6 wt% เมื่อศึกษาโครงสร้างของชั้นดินเหนียวเพิ่มสูงขึ้น จากมุมการกระเจิงของรังสีเอกซ์ 6.94° ลดลงเหลือ 3.62° และโครงสร้างของดินเหนียวในพอลิไพรพิลีนเป็นแบบอินเตอร์คาร์เร็กชัน ทดสอบสมบัติทางความร้อนด้วยเครื่อง TGA พบว่า การเติม MMT ในปริมาณ 2 wt% ทำให้ความเสถียรทางความร้อนเพิ่มสูงขึ้นเมื่อเทียบกับ

พอลิไพรพลีนบริสุทธิ์และเมื่อทดสอบด้วยเครื่อง DSC ความเป็นผลึกของพอลิไพรพลีนนานาโนคอมโพสิตเพิ่มสูงขึ้น แต่ Tg ลดลงเมื่อมีการเติมดินเหนียวปรับสภาพในปริมาณมากขึ้น

Zhang *et al.*, 2004 ศึกษาพอลิเมอร์นาโนคอมโพสิทระหว่างพอลิไพรพลีนและดินเหนียวชนิดโซเดียมอนท์โนริลโลไนท์ที่มีค่า CEC เท่ากับ 115 meq/100 g ปรับสภาพดินเหนียวด้วยสารลดแรงตึงผิวนิคออกตะเกกซิลเอมีน ปรับสภาพขี้ข่องพอลิไพรพลีนด้วยมาเลอิกแอกนิโซไดร์ค์ปายในเครื่องผสมแบบปิดที่อุณหภูมิ 180°C นาน 15 min เตรียมการผสมด้วยวิธีหลอมโดยใช้ความร้อน โดยนำพอลิไพรพลีนที่ปรับสภาพขี้ข่องกับมอนท์โนริลโลไนท์ปรับสภาพในเครื่องผสมแบบปิดที่อุณหภูมิ 200°C นาน 15 min แปบปริมาณมอนท์โนริลโลไนท์ 1 - 4 wt% เมื่อศึกษาโครงสร้างของชั้นดินเหนียวจากเครื่อง XRD และ TEM พบว่า การเติมสารลดแรงตึงผิวทำให้ d-spacing ของดินเหนียวเพิ่มสูงขึ้นจาก 12.0 Å เป็น 19.6 Å และโครงสร้างของชั้นดินเหนียวเป็นแบบอินเตอร์คาร์เรชัน ทดสอบสมบัติทางความเสถียรทางความร้อนจากเครื่อง TGA พบว่า เมื่อเติมมอนท์โนริลโลไนท์ปรับสภาพในปริมาณ 2 wt% จะมีค่าอุณหภูมิการเสื่อมสภาพเพิ่มสูงขึ้นกว่า 130°C เมื่อเทียบกับพอลิไพรพลีนบริสุทธิ์

2.9.3.2 พอลิเอทธิลีน

Gopakumar *et al.*, 2002 ศึกษาอิทธิพลของดินเหนียวที่กระจายตัวในพอลิ เอทธิลีนต่อสมบัติเชิงฟลิกส์ของพอลิเอทธิลีน - มอนท์โนริลโลไนท์นาโนคอมโพสิต พอลิเอทธิลีนโดยโครงสร้างเป็นพอลิเมอร์ที่ไม่มีข้าว จึงต้องปรับสภาพด้วยการเพิ่มมาเลอิกแอกนิโซไดร์ค์ ให้ชื่อย่อเป็น (PE-g-MAn) โดยดินเหนียวที่เลือกใช้มี 2 ชนิดเป็นดินเหนียวมอนท์โนริลโลไนท์บริสุทธิ์ (cloisite NA⁺) และดินเหนียวปรับสภาพทางการค้านานโนเมอร์ (Nanomer®, I.44PA) เตรียมการผสมแบบหลอมโดยใช้ความร้อนด้วยเครื่องผสมแบบปิดนาน 7 min ที่ 160°C, 60 rpm ปริมาตรห้องผสม 70% ขึ้นรูปชั้นตัวอย่างแบบอัดให้มีความหนา 1.5 mm ที่ 150°C ตรวจสอบโครงสร้างของชั้นดินเหนียวด้วยเครื่อง XRD เมื่อนำ PE-g-MAn ผสมกับ I.44PA จะทำให้ชั้นดินเหนียวสามารถขยาย ระยะห่างระหว่างชั้นได้มากขึ้นกว่าพอลิเอทธิลีนที่ไม่มีการเติมมาเลอิกแอกนิโซไดร์ค์ และ PE-g-MAn ที่เติม cloisite NA⁺ ที่ 1wt% ของการเติม I.44PA มีโครงสร้างแบบเอกโพลิเอชัน เมื่อเพิ่ม I.44PA ในปริมาณ 5wt% จะมีค่ามอคูลัสเพิ่มขึ้นประมาณ 30% และเมื่อเพิ่ม I.44PA ในปริมาณ 10% สามารถเพิ่มค่ามอคูลัสได้ถึง 53%

Hotta *et al.*, 2004 ศึกษาการเตรียมพอลิเอทธิลีนชนิดความหนาแน่นต่ำ – ดินเหนียวนาโนคอมโพสิต เลือกใช้ดินเหนียวมอนท์โนริลโลไนท์ที่มีค่า CEC เท่ากับ 92 meq/100 g และใช้

สารลดแรงตึงผิวนิดไดเมทิลบิส (ไอโครีเจนตทอลโล) แอมโมเนียม และชนิดไตรเมทิล(ไอโครีเจนตทอลโล) แอมโมเนียม ทำการทดสอบโดยเทคนิคหลอมโดยใช้ความร้อนภายในเครื่องอัครีดสกรูคู่ และปรับสภาพข้าวของพอลิเออทิลีนด้วยมาเลอิกแอน ไอไครค์ แบบปริมาณมอนท์莫ริลโลในที่ในปริมาณ 0.8 - 6.9 wt% ศึกษาอิทธิพลของหมู่สารลดแรงตึงผิวที่แตกต่างกันและการปรับสภาพข้าว เออทิลีนที่มีผลต่อการสังเคราะห์พอลิเออทิลีน - คินเนนี่ยานาโนคอมโพสิต พบว่า การเติมสารลดแรงตึงผิวทำให้ d - spacing ของคินเนนี่ยาวเพิ่มสูงขึ้นเป็น 18.0 Å และเมื่อตรวจสอบโครงสร้างของชั้นคินเนนี่ยานาในพอลิเออทิลีน ระยะห่างระหว่างชั้นลดลงเนื่องจากแรงเนื้อนจากเครื่องอัครีดสกรูคู่ทำให้ระยะห่างระหว่างชั้นลดลง ทดสอบสมบัติเชิงกลพบว่า เมื่อเติมมอนท์莫ริลโลในที่ปรับสภาพด้วยสารลดแรงตึงผิวนิดไดเมทิลบิส (ไอโครีเจนตทอลโล) แอมโมเนียม ในปริมาณ 6.9 wt% มีสมบัติเชิงกลสูงสุด และทดสอบสมบัติการกันการซึมผ่านก้าชพบว่า เมื่อเติมมอนท์莫ริลโลในที่มากขึ้นการกันการซึมผ่านก้าชเกิดขึ้นได้ยาก เพราะอนุภาคคินเนนี่ยาวขัดขวางการแพร่ผ่านของก้าช

Wang *et al.*, 2003 ศึกษาการเตรียมพอลิเออทิลีน – คินเนนี่ยานาโนคอมโพสิต โดยใช้คินเนนี่ยวนิดมอนท์莫ริลโลในที่ที่มีค่า CEC เท่ากับ 96 meq/100 g และมีระยะห่างระหว่างชั้นเท่ากับ 15 Å ปรับสภาพคินเนนี่ยวนิดสารลดแรงตึงผิวนิดเอกซิจิล ไตรเมทิล แอมโมเนียม ไบโรไนค์ และเตตระบิวทิลแอมโมเนียมไบโรไนค์ ใช้วิธีหลอมโดยใช้ความร้อนด้วยเครื่องผสมสองลูกกลิ้ง ตรวจสอบโครงสร้างพอลิเออทิลีน – คินเนนี่ยานาโนคอมโพสิตด้วยเครื่อง XRD และ TEM พบว่า การเติมสารลดแรงตึงผิวนิดเอกซิจิล ไตรเมทิล แอมโมเนียมไบโรไนค์ ทำให้ d - spacing ของคินเนนี่ยาวเพิ่มสูงขึ้นจาก 15 Å เป็น 38.7 Å และการเติมสารลดแรงตึงผิวนิดเตตระบิวทิลแอมโมเนียมไบโรไนค์ทำให้ d - spacing ของคินเนนี่ยาวเพิ่มสูงขึ้นจาก 15 Å เป็น 16.9 Å เมื่อผสมคินเนนี่ยาวปรับสภาพในพอลิเออทิลีน โครงสร้างของชั้นคินเนนี่ยาวเป็นแบบอินเตอร์คาร์เรชัน ระยะห่างระหว่างชั้นของคินเนนี่ยาวขยายเพิ่มสูงขึ้น กรณีเติมคินเนนี่ยาวที่ปรับสภาพด้วยเอกซิจิล ไตรเมทิล แอมโมเนียมไบโรไนค์ 1% 2% และ 5% ระยะห่างระหว่างชั้นเพิ่มขึ้นเป็น 38.7 Å 40.6 Å และ 38.8 Å ตามลำดับ ส่วนการเติมคินเนนี่ยาวปรับสภาพด้วยเตตระบิวทิลแอมโมเนียมไบโรไนค์ค่าระยะห่างระหว่างชั้นไม่มีการเปลี่ยนแปลง เมื่อทดสอบสมบัติการป้องกันการติดไฟพบว่า เมื่อเติมคินเนนี่ยาวปรับสภาพจะทำให้ป้องกันการติดไฟได้ดีขึ้น เพราะอนุภาคคินเนนี่ยาวขัดขวางการเผาไหม้ การเผาไหม้เกิดได้ช้าลงประมาณ 32 %

Zhai *et al.*, 2004 ศึกษาการเตรียมพอลิเออทิลีน – คินเนนี่ยานาโนคอมโพสิต โดยนำพอลิเออทิลีนปรับสภาพข้าวด้วยมาเลอิกแอน ไอไครค์ เลือกใช้คินเนนี่ยวนิดมอนท์莫ริลโลในที่ และปรับสภาพคินเนนี่ยวนิดสารลดแรงตึงผิวนิดอัลคิล ไตรเมทิลแอมโมเนียมคลอไรค์ และใช้วิธีหลอมโดยใช้ความร้อนด้วยเครื่องผสมแบบปิดนาน 4 min ที่ 175°C แบบปริมาณมอนท์莫ริลโล

ในที่ 1, 3 และ 5 wt% เมื่อศึกษาโครงสร้างของชั้นดินเหนียวจากเครื่อง XRD และ TEM พบว่า การเติมสารลดแรงตึงผิวทำให้ d - spacing ของดินเหนียวเพิ่มสูงขึ้นจาก 23.6 Å เป็น 37.4 Å และเมื่อศึกษาโครงสร้างของชั้นดินเหนียวเป็นแบบอินเตอร์คาร์เลชัน ระยะห่างระหว่างชั้นเพิ่มสูงขึ้นเท่ากับ 55.9 Å 39.8 Å และ 40.1 Å ตามลำดับ ศึกษาสมบัติทางความร้อนโดยใช้เครื่อง TGA และ DSC พบว่า การเติมมอนฟาร์โนริลโลในที่ปรับสภาพในปริมาณ 1 wt% มีสมบัติทางความร้อนเพิ่มสูงขึ้น อุณหภูมิการเดือดลายเพิ่มขึ้นจาก 426.5° เป็น 468.2° อุณหภูมิการเกิดผลึกไม่เปลี่ยนแปลงเพิ่มขึ้น ประมาณ 2°C

2.9.3.3 พอลิเอโอม์

Liu *et al.*, 2003 ศึกษาการเตรียมและการสังเคราะห์ในล่อน 11 - ดินเหนียวนาโนคอมโพสิต โดยเลือกใช้ดินเหนียวชนิดมอนฟาร์โนริลโลในที่ (Nanomer® I.34TCN) เตรียมโดยเทคนิคหลอมโดยใช้ความร้อน แปรปริมาณมอนฟาร์โนริลโลในที่ 1, 2, 4 และ 8 wt% ทำการทดสอบโดยใช้เครื่องทดสอบแบบปิดที่อุณหภูมิ 220°C เมื่อศึกษาโครงสร้างของชั้นดินเหนียวจากเครื่อง XRD และ TEM พบว่า การเติมสารลดแรงตึงผิวทำให้ d - spacing ของดินเหนียวเพิ่มสูงขึ้นจาก 14 Å เป็น 25 Å และโครงสร้างของชั้นดินเหนียวภายในในล่อน 11 เป็นแบบเอกโพลิเอชัน (กรณีที่ใส่มอนฟาร์โนริลโลในที่น้อยกว่า 4 wt%) เมื่อมีปริมาณมอนฟาร์โนริลโลในที่มากกว่า 4 wt% โครงสร้างของชั้นดินเหนียวเป็นแบบอินเตอร์คาร์เลชัน ทดสอบสมบัติทางความร้อนด้วยเครื่อง TGA ถ้าความเสถียรทางความร้อนสูงขึ้นประมาณ 20°C เมื่อเติมมอนฟาร์โนริลโลในที่ในปริมาณ 2 wt% สมบัติเชิงกล ค่าความหนาต่อแรงดึงเพิ่มสูงขึ้นประมาณ 100 % เมื่อเติมมอนฟาร์โนริลโลในที่น้อยกว่า 4 wt%

2.9.3.4 พอลิคาร์โบเนต

Gorrasí *et al.*, 2003 ศึกษาการเตรียมและการสังเคราะห์พอลิคาร์โบเนต - ดินเหนียวนาโนคอมโพสิต โดยใช้ดินเหนียวชนิดมอนฟาร์โนริลโลในที่ที่มีค่า CEC เท่ากับ 92 meq/100 g และมีระยะห่างระหว่างชั้นเท่ากับ 12 Å ปรับสภาพดินเหนียวด้วยสารลดแรงตึงผิวนิดมิลลิบิส (2 ไฮดรอกซีเอทิล) แอมโมเนียม แปรสัดส่วนดินเหนียวปรับสภาพในปริมาณ 1, 3, 5 และ 10 wt% และใช้เทคนิคหลอมโดยใช้ความร้อนในการทดสอบ เมื่อศึกษาโครงสร้างของชั้นดินเหนียวจากเครื่อง XRD และ TEM พบว่า การเติมสารลดแรงตึงผิวทำให้ d - spacing ของดินเหนียวเพิ่มสูงขึ้น และโครงสร้างของชั้นดินเหนียวเป็นแบบเอกโพลิเอชัน อนุภาคดินเหนียวปรับสภาพจะทำให้เกิดการกัดกร่อนผ่านของก้าชดีขึ้น ทดสอบสมบัติทางความร้อนด้วยเครื่อง DSC และ TGA พบว่า T_g เพิ่มสูงขึ้นเล็กน้อย และ T_d ไม่มีการเปลี่ยนแปลง

2.9.3.5 พอลิเมทิล เมทาอะไครเลท

Salahuddin *et al.*, 2001 ศึกษาการเตรียมพอลิเมทิล เมทาอะไครเลท – ดินเหนียวนาโนคอมโพสิต ใช้ดินเหนียวชินคอมอนท์ไมริลโลไนท์ที่ปรับสภาพด้วยสารลดแรงตึงผิวนิดๆ โคลีเมทิลเบนซิลไอกซ์เจนททอลโลแอมโมเนียมคลอไรด์ ระยะห่างระหว่างชั้นของดินเหนียวก่อนทำการปรับสภาพเท่ากับ 12 Å เมื่อทำการปรับสภาพระยะห่างระหว่างชั้นเพิ่มสูงขึ้นเท่ากับ 18 Å เตรียมการผสมแบบหลอมโดยใช้ความร้อน แอปรปริมาณมอนท์ไมริลโลไนท์ปรับสภาพ 0 - 1 wt% เมื่อศึกษาโครงสร้างของชั้นดินเหนียวจากเครื่อง XRD และ TEM พบว่า โครงสร้างของชั้นดินเหนียวเป็นแบบเอกฟลิเอชัน ทดสอบสมบัติทางความร้อนด้วยเครื่อง TGA ค่าความเสถียรทางความร้อนเพิ่มสูงขึ้นในช่วง 200 - 400°C เมื่อเพิ่มปริมาณมอนท์ไมริลโลไนท์เท่ากับ 1 wt%

2.9.3.6 พอลิเอทธิลีไวนิลอะซีเตท

Riva *et al.*, 2002 ศึกษาการเตรียมพอลิไวนิลอะซีเตท – ดินเหนียวนาโนคอมโพสิต ใช้ดินเหนียวชินคอมอนท์ไมริลโลไนท์ที่ปรับสภาพด้วยสารลดแรงตึงผิวนิดออกตะเกกซิล แอมโมเนียม โดยใช้พอลิไวนิลอะซีเตทที่มีไวนิลอะซีเตทเป็นองค์ประกอบ 19% เตรียมการผสมด้วยเทคนิคหลอมโดยใช้ความร้อนภายในเครื่องผสมแบบปิด ที่อุณหภูมิ 120°C, 60 rpm นาน 10 min เมื่อศึกษาโครงสร้างของชั้นดินเหนียวจากเครื่อง XRD และ TEM พบว่า การเติมสารลดแรงตึงผิวทำให้ d - spacing ของดินเหนียวเพิ่มสูงขึ้นจาก 15 Å เป็น 20 Å และ โครงสร้างของชั้นดินเหนียวในพอลิไวนิลอะซีเตท – ดินเหนียวนาโนคอมโพสิตเป็นแบบเอกฟลิเอชัน ทดสอบสมบัติทางความร้อนจากเครื่อง TGA, DSC และ DMTA พบว่า มีความเสถียรทางความร้อนสูงขึ้นเมื่อเติมมอนท์ไมริลโลไนท์ปรับสภาพในปริมาณ 10 wt%

Tang *et al.*, 2002 ศึกษาการเตรียมพอลิไวนิลอะซีเตท – ดินเหนียวนาโนคอมโพสิต ใช้ดินเหนียวชินคอมอนท์ไมริลโลไนท์ที่ปรับสภาพด้วยสารลดแรงตึงผิวนิดເຊກະເຄົມໄຕຣເມທິລແອນໂມເນີຍໂບຣໄມດໍ ทำการผสมด้วยວິທີ່ຫລອມโดยใช้ความร้อนภายในเครื่องบดสองລູກກັງໂດຍແດີມມອນທີ່ໃນຮົມໂລໄນທີ່ມີຄວາມແຕກຕ່າງຮະວ່າງຂາດຂອງອນຸກາກ MMT_a (38 nm) ແລະ MMT_b (48 nm) เมื่อศึกษาโครงสร้างของชั้นดินเหนียวจากเครื่อง XRD และ TEM พบว่า การเติมสารลดแรงตึงผิวทำให้ d - spacing ของดินเหนียวเพิ่มสูงขึ้นจาก 14 Å เป็น 37.8 Å เมื่อศึกษาโครงสร้างของชั้นดินเหนียวภายในເນື້ອພອລິໄວນິລົດຳຈົກຕ່າງໆຈາກເຄື່ອງ XRD ແລະ TEM พบว่า โครงสร้างของชั้นดินเหนียวเป็นแบบອິນເຕົຣ໌ຄາຣເລັ້ນ ເມື່ອສຶກຍາສົມບັດການດ້ານທານການຕິດໄຟແລກຮ່າງໄຟພນວ່າ

พอลิไวนิลอะซีเตท – ดินเหนียวนาโนคอมโพสิตมีอัตราการคลายความร้อนลดลง 40% เมื่อเติมดินเหนียว MMTa และ 34% เมื่อเติมดินเหนียว MMTb

Zanetti *et al.*, 2001 ศึกษาการเตรียมพอลิไวนิลอะซีเตท – ดินเหนียวนาโนคอมโพสิต โดยใช้พอลิไวนิลอะซีเตทที่มีไวนิลอะซีเตทเป็นองค์ประกอบที่แตกต่างกันคือ 12 และ 19 wt% ใช้ดินเหนียวชนิดฟูออร์โรเชกโทไทรท์ที่ปรับสภาพด้วยสารลดแรงตึงผิวชนิดออกตะเกกซิล แอมโมเนียมและอะมิโนเคเดคานโอนิก ทำการผสมด้วยเทคนิคหลอมโดยใช้ความร้อน ผสมภายใต้เครื่องอัครีดแบบสกรู แปรปริมาณมอนท์莫ริลโลได้ในที่ปรับสภาพเท่ากับ 1 - 10 wt% เมื่อศึกษาโครงสร้างของชั้นดินเหนียวจากเครื่อง XRD และ TEM พบว่า การเติมสารลดแรงตึงผิวทำให้ d-spacing ของดินเหนียวเพิ่มสูงขึ้นจาก 14 Å เป็น 17 Å และเมื่อศึกษาโครงสร้างของชั้นดินเหนียวภายใต้พอลิไวนิลอะซีเตทเป็นแบบเอกโพลิเอชัน ตรวจสอบสมบัติทางความร้อนจากเครื่อง TGA พบว่า สมบัติทางด้านความร้อนเพิ่มขึ้นเมื่อเติมดินเหนียวปรับสภาพในปริมาณ 10 wt%

Zhang *et al.*, 2003 ศึกษาการเตรียมพอลิไวนิลอะซีเตท – ดินเหนียวนาโนคอมโพสิต โดยใช้พอลิไวนิลอะซีเตทที่มีไวนิลอะซีเตทเป็นองค์ประกอบที่แตกต่างกันคือ 28, 40, 50 และ 80 wt% ปรับสภาพดินเหนียวมอนท์莫ริลโลได้ด้วยสารลดแรงตึงผิวชนิดออกตะเกกซิลไตรเมทิลแอมโมเนียม ไบโรไนด์ ไครออกตะเกกซิลไตรเมทิลแอมโมเนียม ไบโรไนด์และไตรซีทิลเมทิลแอมโมเนียม ไบโรไนด์ ไตรซีทิลเมทิลแอมโมเนียม ไบโรไนด์ พนวจว่า การเติมสารลดแรงตึงผิวจะทำให้ระยะห่างระหว่างชั้นเพิ่มสูงขึ้น จาก 13.29 Å เป็น 19.8 Å 36.17 Å และ 37.23 Å ตามลำดับ ทำการเตรียมด้วยเทคนิคหลอมโดยใช้ความร้อนที่อุณหภูมิ 120°C และแปรปริมาณดินเหนียวมอนท์莫ริลโลได้ในที่ในปริมาณ 3, 5 และ 10 wt% เมื่อศึกษาโครงสร้างของชั้นดินเหนียวภายใต้พอลิไวนิลอะซีเตทจากเครื่อง XRD และ TEM พบว่า การเติมมอนท์莫ริลโลได้ในที่ปรับสภาพด้วยสารลดแรงตึงผิวทั้ง 3 ชนิด โครงสร้างของชั้นดินเหนียวเป็นแบบอินเตอร์คาร์เลชันระยะห่างระหว่างชั้นเพิ่มสูงขึ้น เมื่อตรวจสอบสมบัติทางความร้อนด้วยเครื่องเทอร์โมกราวิเมตритิกพบว่า พอลิไวนิลอะซีเตท – ดินเหนียวนาโนคอมโพสิตที่ปรับสภาพดินเหนียวด้วยสารลดแรงตึงผิวชนิดออกตะเกกซิลไตรเมทิลแอมโมเนียม ไบโรไนด์ มีความเสถียรทางความร้อนสูงกว่าดินเหนียวปรับสภาพด้วยสารลดแรงตึงผิวชนิดอื่นๆ

2.9.3.7 พอลิคาร์บอเนต

Wang *et al.*, 2003 ศึกษาการเตรียมพอลิคาร์บอเนตผสมกับไครโลไดรล์ บิวตะไคอิน สไตริน และเติมดินเหนียวชนิดมอนท์莫ริลโลได้ในที่ปรับสภาพ ปรับสภาพดินเหนียวด้วยสารลดแรงตึงผิวชนิดเซกซิลไตรเมทิลแอมโมเนียม ไบโรไนด์ พนวจว่า ระยะห่างระหว่างชั้นเพิ่มสูงขึ้นจาก 13 Å เป็น 22 Å ทำการผสมพอลิเมอร์ผสมและดินเหนียวมอนท์莫ริลโลได้ในที่ปรับ

สภาพด้วยเทคนิคหลอมโดยใช้ความร้อนภายในตัวการผสมด้วยเครื่องผสมสองลูกกลิ้ง เมื่อเติมดินเหนียวชนิดมอนท์โมริโลนท์ในปริมาณ 5 wt% ในพอลิเมอร์พสม โครงสร้างของชั้นดินเหนียว เมื่อตรวจสอบจากเครื่อง XRD และ TEM พบว่า มีโครงสร้างแบบอินเตอร์คาร์เลชัน ระยะห่างระหว่างชั้นดินเหนียวเพิ่มสูงขึ้น เมื่อศึกษาความเสถียรทางความร้อนด้วยเครื่องเทอร์โมกราฟิก trifibrae พบว่า ความเสถียรทางความร้อนเพิ่มสูงขึ้นเมื่อเติมดินเหนียวมอนท์โมริโลนท์ในปริมาณ 5 wt%

2.9.3.8 พอลิสไตรีน

Limpanart et al., 2005 ศึกษาการเตรียมพอลิสไตรีน – ดินเหนียวนาโนคอมโพสิตด้วยวิธีหลอมโดยใช้ความร้อนระหว่างพอลิสไตรีนและมอนท์โมริโลนท์ปรับสภาพ เลือกใช้สารลดแรงตึงผิวนิดๆ ไดออกตะเกกซิล ไคเมทิลแอกโน โอมเนนิมคลอไรด์ ดินเหนียวมอนท์โมริโลนท์มีค่า CEC เท่ากับ 96 meq/100 g และแปรปริมาณสารลดแรงตึงผิวในการสังเคราะห์ 0.5 และ 2 mmol ตามลำดับ ให้ชื่อเป็น D1805 และ D1820 เมื่อตรวจสอบโครงสร้างของชั้นดินเหนียวด้วยเครื่อง XRD และ TEM พบว่า การเติมสารลดแรงตึงผิวทำให้ d-spacing ของดินเหนียวเพิ่มสูงขึ้นเป็น 29 Å (D1805) และ 38 Å (D1820) ตามลำดับ การเติม MMT ปรับสภาพ D1805 และ D1820 ในพอลิสไตรีนจะทำให้ชั้นดินเหนียวมีโครงสร้างแบบอินเตอร์คาร์เลชัน ตรวจสอบปริมาณความแตกต่างของปริมาณสารลดแรงตึงผิวจาก TGA พบว่า ปริมาณของน้ำหนักที่หายไปเมื่ออุณหภูมิสูงของ D1820 มีปริมาณมากกว่า D1805 ซึ่งตรงตามผลของการสังเคราะห์ D1820 มีปริมาณของสารลดแรงตึงผิวมากกว่า D1805